

第一章 光的特性

按现代物理学的认知，光是一种电磁波。描述电磁运动规律的基本理论是量子电动力学（quantum electrodynamics, QED）。量子光学利用量子理论研究光的特性以及光与物质相互作用。

对于许多光学问题，量子效应不明显，主要显示出波动性，可以用经典的电磁理论来处理。用经典电磁场理论，来研究光在宏观传播过程中的波动现象（包括干涉、衍射和偏振等），以及光波与介质的相互作用，是波动光学的主要内容。

§0.1 几何光学与费马原理

在波面线度远较波长为大的情况下，研究光的反射、折射和成象等问题，使用光线和波面等概念，会更为方便。

1. 几何光学基本定律

几何光学又称光线光学，用一条表示传播方向的线代表光，并称之为**光线**。几何光学的基本定律来自于实验总结，可以表述为：

- ① 光在均匀介质中的**直线传播定律**。
- ② 光的**独立传播定律**。
- ③ 光通过两种介质分界面时的**反射和折射定律**。

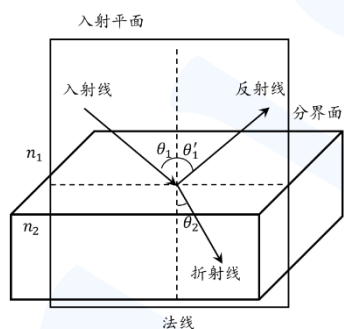


图 0-1 光的反射和折射

在真空或均匀介质中，光沿直线传播。在线性介质中，当不同的光线相交时，每一光线的传播方式都不发生改变。

当光线遇到两种均匀各向同性介质的分界面时，光线被分为反射光线和折射光线。-

如图所示，分界面的法线与入射线确定了**入射平面**。入射线与法线的夹角 θ_1 称为**入射角**，反射线与法线的夹角称为**反射角**；入射角与反射角相等，

$$\theta'_1 = \theta_1 \quad (0.1)$$

折射线与法线的夹角 θ_2 称为**折射角**。1621 年荷兰数学家斯涅尔发现了光线的折射定律，

$$n_1 \sin \theta_1 = n_2 \sin \theta_2 \quad (0.2)$$

2. 费马原理

光在均匀介质中直线传播，是沿着一条费时最短的路径行进。那么反射光线是否也是费时最少的路径？

设光线从 A 点到达 B 点，中间在界面上 C 点处被反射，且满足反射定律。我们来比较另外一条路径 AC'B 和路径 ACB 的长度。作 B 点关于分界面的镜像点 B'，

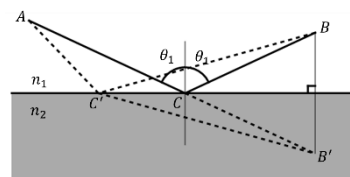


图 0-2 反射符合费马原理

$$ACB = AC + CB = AC + CB' = ACB' \quad (0.3)$$

$$AC'B = AC' + C'B = AC' + C'B' = AC'B' \quad (0.4)$$

而 ACB' 是一条直线，所以

$$ACB' < AC'B' \quad (0.5)$$

光线遵守反射定律时，通过的路径最短，费时最少。

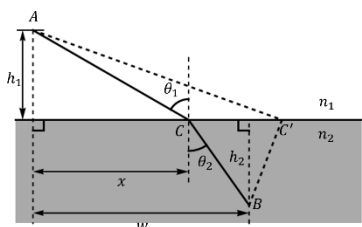


图 0-3 折射符合费马原理

对折射现象，设 A 点到界面的距离为 h_1 ，B 点到界面的距离为 h_2 ，A、B 两点的水平距离（平行于分界面的距离）为 w 。假若光线在 C 点发生折射，记 A、C 的水平距离为 x ，那么从 A 点到 B 点所需时间是

$$t = \frac{AC}{v_1} + \frac{CB}{v_2} = \frac{1}{v_1} \sqrt{h_1^2 + x^2} + \frac{1}{v_2} \quad (0.6)$$

取微商得

$$\frac{dt}{dx} = \frac{x}{v_1 \sqrt{h_1^2 + x^2}} - \frac{w - x}{v_2 \sqrt{h_2^2 + (w - x)^2}} \quad (0.7)$$

耗时最少的路径满足

$$\frac{dt}{dx} = 0 \Leftrightarrow \frac{x}{v_1 \sqrt{h_1^2 + x^2}} = \frac{w - x}{v_2 \sqrt{h_2^2 + (w - x)^2}} \quad (0.8)$$

即

$$\frac{\sin \theta_1}{v_1} = \frac{\sin \theta_2}{v_2} \quad (0.9)$$

$$n_1 \sin \theta_1 = n_2 \sin \theta_2 \quad (0.10)$$

因此符合折射定律的路径费时最少。

由以上的讨论，我们可以把三个定律总结为费马原理（1657 年 Pierre de Fermat）：

光线从空间一点传播到另一点，沿所需时间为驻值的路径传播。

写成表达式就是

$$\delta t = 0 \quad (0.11)$$

$$t = \int_A^B \frac{ds}{v} \quad (0.12)$$

乘以真空中的光速，定义为光程

$$l = ct = \int_A^B \frac{c}{v} ds = \int_A^B n ds \quad (0.13)$$

则费马原理可以等价的表述为：光线是沿光程为驻值的路径传播的，

$$\delta l = 0 \quad (0.14)$$

费马原理不仅可以用于均匀介质中光的传播、反射和折射，也可用于非均匀介质。设介质的折射率为

$$n = n(\vec{r}) \quad (0.15)$$

光线经过的路径是

$$\vec{r} = \vec{r}(s) \quad (0.16)$$

则光程是积分型泛函

$$l[\vec{r}] = \int_A^B n ds \quad (0.17)$$

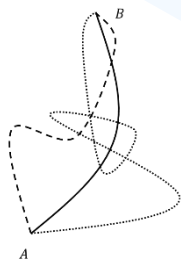


图 0-4 光程最短路径

利用变分法，可得光线的真实路径满足的程函方程

$$\frac{d}{ds} \left(n \frac{d\vec{r}}{ds} \right) = \nabla n \quad (0.18)$$

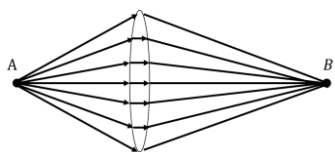


图 0-5 物、象之间等光程

对目镜、望远镜和显微镜等成像系统，从物点A发出的光线，只要进入光瞳，就会汇聚于像点B，其中每条光线都遵循费马原理，光程取驻值。

驻值有可能是极大值、极小值和常数这三种情形。把成像光线1在物点A点处的方向微微变动，那么变动后的光线2仍会到达像点B。假如光线1的光程是极值，那么相邻的光线2的光程就不可能取驻值。因此物象之间的光线，其光程必须取常数，

物点到像点各条光线的光程一定相等。

这称为**物象等光程性**，是费马原理的一个重要推论。

例 沿着光轴方向入射的平行光线，汇聚于凸透镜的焦点，应该怎样考虑等光程性？

解：如图，我们可以取同样的两个凸透镜，共轴摆放。

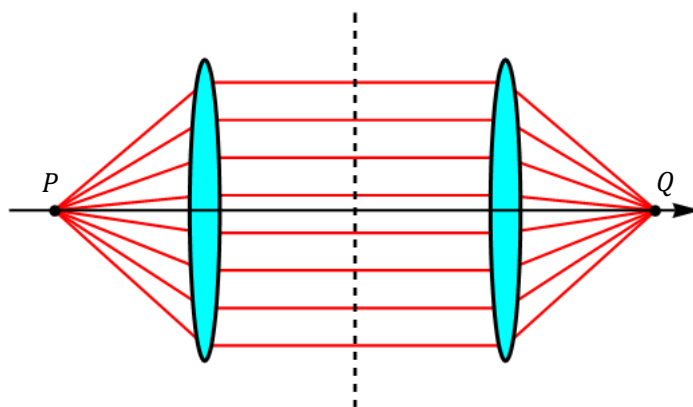


图 0-6 平行光入射时的等光程性

各条光线从左侧透镜的焦点P射出，经左侧透镜后成为平行光，然后相交于右侧透镜的焦点Q，即P、Q分别是物点和像点。

由物象之间的等光程性，这个光路中的所有光线光程相等。整个光路左右对称，把装置用中线一分为二，一半光程也是相等的。

因此，对平行光入射的情形，只要作垂直于光线方向的平面（这是波动光学中的等相面），光线从等相面到焦点的光程必然相等。

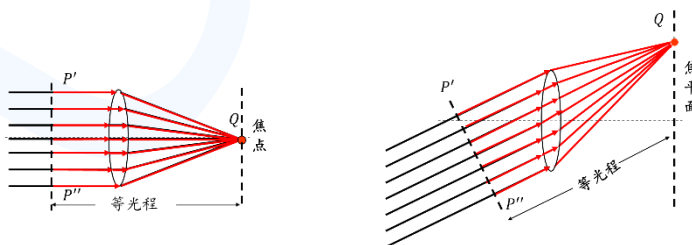


图 0-7 平行光入射时的等光程性

对入射平行光与光轴夹角不等于零的情形，类似的分析可以得出同样的结论。

§0.2 光是电磁波

1. 光波的基本性质

根据麦克斯韦电磁理论，电磁波在介质中的传播速度为

$$v = \frac{1}{\sqrt{\varepsilon_0 \varepsilon \mu_0 \mu}} \quad (0.19)$$

其中 ε_0 和 μ_0 是真空的介电常数和磁导率， ε 和 μ 是介质的相对介电常数和磁导率。对真空 $\varepsilon = \mu = 1$ ，真空中的光速是

$$c = \frac{1}{\sqrt{\varepsilon_0 \mu_0}} = 2.99792458 \times 10^8 \text{ m/s} \quad (0.20)$$

按国际单位制，光在真空中行进 $1/299792458$ 秒的距离为 1 米。真空中的光速是测量标准之一，现在已被定义为常量。

对大多数的介质

$$\mu \approx 1, \quad \varepsilon > 1 \quad (0.21)$$

按斯涅耳定律，**折射率**应定义为

$$n = \frac{c}{v} = \sqrt{\varepsilon \mu} \approx \sqrt{\varepsilon} \quad (0.22)$$

光在介质中的速率通常小于真空中的光速，折射率大于 1。

一束光波在穿过不同介质时，介质中的电荷在电磁场作用下受迫振动并辐射。光波频率 ν 保持不变，波速 v 发生变化。在真空中传播时，其波长 λ_0 与频率 ν 的关系为

$$\lambda_0 \nu = c \quad (0.23)$$

在介质中传播时，

$$\lambda \nu = v = \frac{c}{n} = \frac{\lambda_0 \nu}{n} \quad (0.24)$$

$$\lambda = \frac{\lambda_0}{n} \quad (0.25)$$

波长变短。

人眼视觉细胞能够感受的光波称为**可见光**。光波的波长单位通常使用纳米（ $1\text{nm} = 10^{-9}\text{m}$ ）或埃（ $1\text{\AA} = 10^{-10}\text{m}$ ）。可见光的波长范围介于 390nm 至 760nm 之间。

表 0-1 电 磁 波 谱

3×10^{20}		6×10^{16}		7×10^{14}	4×10^{14}	3×10^{12}	10^4Hz
γ 射线	X 射线	紫外线	可见光	红外线	无线电波		
0.01		10	390	760	10^5nm		

单一波长的光称为**单色光**，否则称为**复色光**。按傅里叶变换，任何复色光都可以看成不同波长单色光的叠加。对单色光，人眼感受到的颜色与频率（或真空中的波长）有对应关系。

表 0-2 可见光的频率和波长

名称	波长范围	频率范围/Hz
红	760 nm~622 nm	$3.9\times 10^{14}\sim 4.7\times 10^{14}$
橙	622 nm~597 nm	$4.7\times 10^{14}\sim 5.0\times 10^{14}$
黄	597 nm~577 nm	$5.0\times 10^{14}\sim 5.5\times 10^{14}$
绿	577 nm~492 nm	$5.5\times 10^{14}\sim 6.3\times 10^{14}$
青	492 nm~450 nm	$6.3\times 10^{14}\sim 6.7\times 10^{14}$
蓝	450 nm~435 nm	$6.7\times 10^{14}\sim 6.9\times 10^{14}$
紫	435 nm~390 nm	$6.9\times 10^{14}\sim 7.7\times 10^{14}$

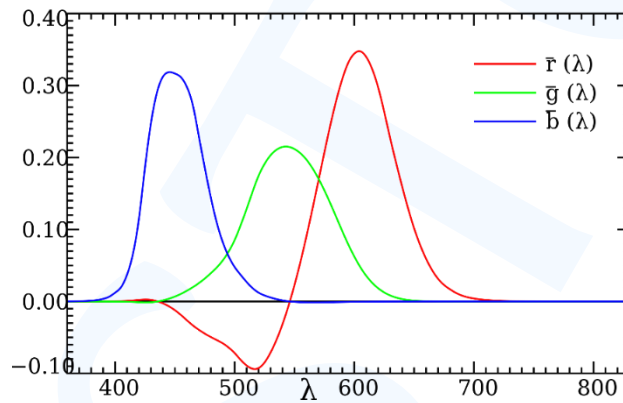


图 0-8 人眼的三种视锥细胞对不同波长光波的响应曲线
(CIE1931 RGB color matching function)

利用分光仪器（如三棱镜和光栅）对各种光源进行光谱分析，会发现它们发出的大都不是单色光。

2. 光矢量和光强

光是电磁波，电磁波是变化的电场 \vec{E} 和磁场 \vec{B} ，因此我们可以用描述电磁场的波函数

$$\vec{E} = \vec{E}(t, \vec{r}), \quad \vec{B} = \vec{B}(t, \vec{r}) \quad (0.26)$$

来描述光波。上式中 t 是时间， $\vec{r} = (x, y, z)$ 是空间坐标。

电磁场是麦克斯韦方程的解。当介质分布以及边界条件不同时，波函数也不相同。在光学中常用到**单色平面光波**和**单色球面光波**，是麦克斯韦波动方程的特解。任何光波都可以分解为这些特解的线性组合。

单色光波也称定态光场，具有形式

$$\begin{cases} \vec{E}(t, \vec{r}) = \vec{E}_0(\vec{r}) \cos(\omega t + \phi_E(\vec{r})) \\ \vec{B}(t, \vec{r}) = \vec{B}_0(\vec{r}) \cos(\omega t + \phi_M(\vec{r})) \end{cases} \quad (0.27)$$

可以看出单色光波满足四个条件：

- (1) 空间各点的电磁场以同一频率作简谐振荡；

- (2) 各点的振幅不随时间变化;
- (3) 初相位是空间分布, 与时间无关;
- (4) 波列在空间上无限延伸, 在时间上无限长。

实际光源只能发出近似的单色光波。

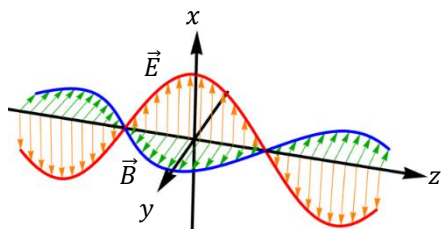


图 0-9 电磁场是横波

在均匀介质中, 沿 z -轴正方向, 以速度 v 传播的平面简谐电磁波为

$$\begin{cases} \vec{E}(t, \vec{r}) = \vec{E}_0 \cos\left[\omega\left(t - \frac{z}{v}\right) + \phi_0\right] \\ \vec{B}(t, \vec{r}) = \vec{B}_0 \cos\left[\omega\left(t - \frac{z}{v}\right) + \phi_0\right] \end{cases} \quad (0.28)$$

由电磁理论, \vec{E}_0 、 \vec{B}_0 和速度 \vec{v} 互相垂直, 电场、磁场同相位, 且

$$E_0 = cB_0 \quad (0.29)$$

实验表明光与物质作用有多种物理效应。人眼对光的视觉、乳胶感光和光电效应等, 主要是电场分量作用的结果。因此, 在光学中讨论光波时, 一般指电场矢量的振动, 并把电场矢量称为**光矢量**。

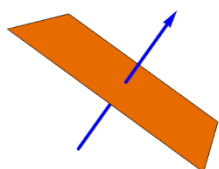


图 0-10 平面波的等相面和波矢量

一列沿任意方向传播的平面单色光波的光矢量为

$$\vec{E} = \vec{E}_0 \cos(\omega t - \vec{k} \cdot \vec{r} + \phi_0) \quad (0.30)$$

其中

$$\omega = 2\pi\nu \quad (0.31)$$

是**圆频率**。 \vec{k} 是**波矢量**。波矢量平行于速度方向, 模长是

$$k = \frac{2\pi}{\lambda} \quad (0.32)$$

在任一时刻, 波的同相位点 \vec{r} 满足

$$\omega t - \vec{k} \cdot \vec{r} + \phi_0 = \phi \quad (0.33)$$

构成**等相面**, 是法向为 \vec{k} 的平面, 所以称之为**平面波**。

光矢量有三个分量, 研究光的偏振现象, 必须确定光矢量的方向。但也有很多场合, 各束光的振动方向近似平行, 或者只需考虑其中一个方向的光矢量分量, 可以用**标量波函数**描述光波。

平面波的标量波函数为

$$E = E_0 \cos(\omega t - \vec{k} \cdot \vec{r} + \phi_0) \quad (0.34)$$

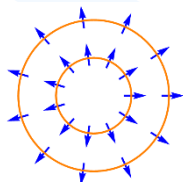


图 0-11 球面波的等相面和波矢量

从点光源发出的单色光波, 在均匀各向同性介质中传播时, 形成单色球面波。单色球面波的标量波函数是

$$E = \frac{A_0}{r} \cos(\omega t - kr + \phi_0) \quad (0.35)$$

其中常数 A_0 , 表示 $r = 1$ 处的振幅。

在简谐振动中引进复数, 可以带来计算上的方便。对任一单色标量波函数

$$E = E_0(\vec{r}) \cos(\omega t + \phi(\vec{r})) \quad (0.36)$$

增加虚部，定义**复波函数**

$$\tilde{E}(t, \vec{r}) \stackrel{\text{def}}{=} E_0(\vec{r}) \cos(\omega t + \phi(\vec{r})) - i E_0(\vec{r}) \sin(\omega t + \phi(\vec{r})) = E_0(\vec{r}) e^{-i\phi(\vec{r})} e^{-i\omega t} \quad (0.37)$$

同时记**复振幅**为

$$\tilde{E}_0(\vec{r}) = E_0(\vec{r}) e^{-i\phi(\vec{r})} \quad (0.38)$$

复波函数是复振幅与时间因子的乘积，

$$\tilde{E}(t, \vec{r}) = \tilde{E}_0(\vec{r}) e^{-i\omega t} \quad (0.39)$$

单色平面波的复振幅是

$$\tilde{E}_0(\vec{r}) = E_0 e^{i(\vec{k} \cdot \vec{r} - \phi_0)} \quad (0.40)$$

而单色球面波的复振幅是

$$\tilde{E}_0(\vec{r}) = \frac{A_0}{r} e^{i(kr - \phi_0)} \quad (0.41)$$

在电磁学中，电磁场的瞬时能流密度是坡印亭矢量，

$$\vec{S} = \vec{E} \times \vec{H} = \frac{1}{\mu} \vec{E} \times \vec{B} \quad (0.42)$$

光波的频率（ 10^{14}Hz ）远大于人眼和探测仪器的时间分辨能力。实际接收到的是光的时间平均效应。能流密度的长时间平均（近似等于一个周期的平均）

$$I \stackrel{\text{def}}{=} \langle |\vec{S}| \rangle = \sqrt{\frac{\epsilon}{\mu}} \langle \vec{E} \cdot \vec{E} \rangle \quad (0.43)$$

称为光的强度或**光强**。在同一种介质中，只关心光强的相对分布时，定义**相对光强**为

$$I \stackrel{\text{def}}{=} 2 \langle \vec{E} \cdot \vec{E} \rangle \quad (0.44)$$

相对光强也简称光强。在比较两种介质中的强度时，不能使用相对光强这种定义。

单色波的光强，等于一个周期 T 中的平均值，

$$\begin{aligned} I &= \frac{1}{T} \int_0^T 2E_0^2(\vec{r}) \cos^2(\omega t + \phi(\vec{r})) dt = \frac{1}{T} E_0^2(\vec{r}) \int_0^T [1 + \cos(2\omega t + 2\phi(\vec{r}))] dt \\ &= E_0^2(\vec{r}) = \tilde{E}_0(\vec{r}) \tilde{E}_0^*(\vec{r}) \end{aligned} \quad (0.45)$$

对球面波，有

$$I = \frac{A_0^2}{r^2} \quad (0.46)$$

单位时间通过半径 r 的球面的总能量

$$I \cdot 4\pi r^2 = 4\pi A_0^2 \quad (0.47)$$

是一个常数，符合能量守恒的要求。

以 $dI(\lambda)$ 表示波长区间 $(\lambda, \lambda + d\lambda)$ 光的强度，**谱密度**定义为

$$i(\lambda) \stackrel{\text{def}}{=} \frac{dI(\lambda)}{d\lambda} \quad (0.48)$$

光束的**总光强**为

$$I = \int_0^{+\infty} i(\lambda) d\lambda \quad (0.49)$$

在很大的波长范围内，热辐射光源的强度连续变化，称之为**连续光谱**。气体放电发光时，在一些分立的波长附近形成一条条的谱线，称为**线光谱**。

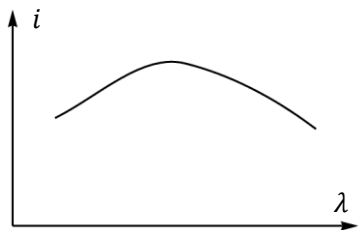


图 0-12 连续谱

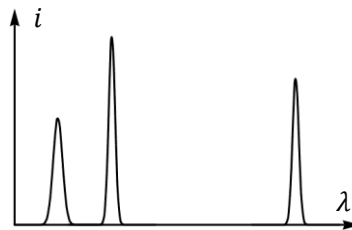


图 0-13 分立谱

不同化学成分，有不同的**特征谱线**。每一条谱线只是近似的单色光。一条谱线的谱密度函数是一条钟形曲线，其分布有一定的宽度，这个宽度 $\Delta\lambda$ 称为**谱线宽度**。

谱线宽度来源于光源的能级宽度、分子热运动和碰撞等效应。这些效应展宽了谱线的频率范围，并导致单次发光的电磁波列长度只有几厘米或几毫米。与之对比，单色光的波列为无限长。激光的谱线宽度远远小于普通光源，这表示激光的**单色性**非常好。

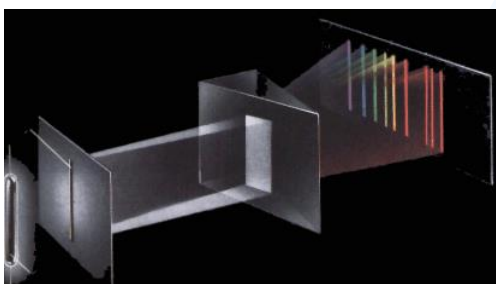


图 0-14 特征谱线

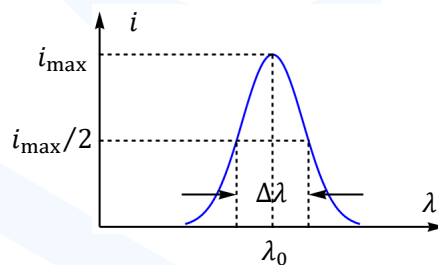


图 0-15 谱线宽度

太阳光谱除了一些暗线外，基本上是连续光谱。阳光给人以白光的感觉。在光学中，定义**白光**是具有和阳光相近的连续光谱的复色光。

3. 叠加原理

线性介质中的麦克斯韦方程，是线性偏微分方程组。方程组的解（即光的波函数），服从**叠加原理**。当多列光波同时存在时，在重叠区域，光矢量是各列波的光矢量之和，

$$\vec{E}(t, \vec{r}) = \vec{E}_1(t, \vec{r}) + \vec{E}_2(t, \vec{r}) + \cdots \quad (0.50)$$

波的叠加原理是干涉、衍射和偏振等波动光学问题的理论基础。在物理学中，机械波、电磁波和物质波等线性系统，都服从叠加原理。

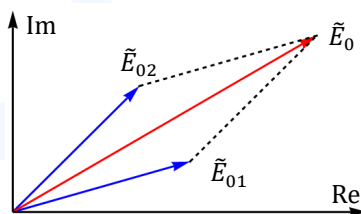


图 0-16 复振幅的叠加

考虑同频同振向的两列波，可用标量波函数描述其光场分布，

$$E_1(t, \vec{r}) = E_{01}(\vec{r}) \cos(\omega t + \phi_1(\vec{r})) \quad (0.51)$$

$$E_2(t, \vec{r}) = E_{02}(\vec{r}) \cos(\omega t + \phi_2(\vec{r})) \quad (0.52)$$

总波函数是两者的叠加，

$$E(t, \vec{r}) = E_{01}(\vec{r}) \cos(\omega t + \phi_1(\vec{r})) + E_{02}(\vec{r}) \cos(\omega t + \phi_2(\vec{r})) \quad (0.53)$$

表示为复波函数，

$$\tilde{E}(t, \vec{r}) = \tilde{E}_1(t, \vec{r}) + \tilde{E}_2(t, \vec{r}) = \left(\tilde{E}_{01}(\vec{r}) + \tilde{E}_{02}(\vec{r}) \right) e^{-i\omega t} \quad (0.54)$$

所以总复振幅是

$$\tilde{E}_0(\vec{r}) = \tilde{E}_{01}(\vec{r}) + \tilde{E}_{02}(\vec{r}) = E_{01}(\vec{r})e^{i\phi_1(\vec{r})} + E_{02}(\vec{r})e^{i\phi_2(\vec{r})} \quad (0.55)$$

合成光仍是同频率的单色光，但实振幅 E_0 和相位 $\phi(\vec{r})$ 与两列波都不同，

$$\tilde{E}_0(\vec{r}) = E_0(\vec{r})e^{i\phi(\vec{r})} \quad (0.56)$$

$$E_0^2(\vec{r}) = |\tilde{E}_{01}(\vec{r}) + \tilde{E}_{02}(\vec{r})|^2 = E_{01}^2(\vec{r}) + E_{02}^2(\vec{r}) + 2E_{01}(\vec{r})E_{02}(\vec{r})\cos(\phi_1(\vec{r}) - \phi_2(\vec{r})) \quad (0.57)$$

$$\phi(\vec{r}) = \arctan(E_{01}\cos\phi_1 + E_{02}\cos\phi_2, E_{01}\sin\phi_1 + E_{02}\sin\phi_2) \quad (0.58)$$

§0.3 光的干涉

1. 干涉现象

英国物理学家玻意耳（Robert Boyle，1627-1691）首次记载了在肥皂泡和玻璃球中产生的彩色薄膜条纹。肥皂泡在白光照射下呈现多彩条纹；一些鸟类羽毛、甲虫外壳和蝴蝶翅膀的颜色，随视线方向变化，这都是常见的干涉现象。



图 0-17 自然界的干涉现象

两束或两束以上的光波，叠加后产生的稳定、不均匀的光强分布（色彩或明暗），即干涉条纹（interference fringe），这种现象称为光的干涉（interference）。

2. 相干条件

发光的物体称为**光源**。考虑两个点光源发出的单色球面波在全空间的叠加。设两列波同振向，用标量波函数描述。

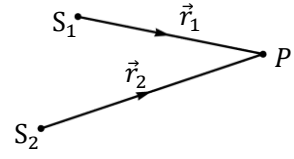


图 0-18 两个点源的叠加

在P点，两列波的波函数分别为

$$E_1 = E_{10}(\vec{r}) \cos(\omega_1 t + \phi_1(\vec{r})) \quad (0.59)$$

$$E_2 = E_{20}(\vec{r}) \cos(\omega_2 t + \phi_2(\vec{r})) \quad (0.60)$$

其中球面波在P点处的相位分别为

$$\phi_1(\vec{r}) = \phi_{10} - \frac{2\pi}{\lambda_1} r_1, \quad \phi_2(\vec{r}) = \phi_{20} - \frac{2\pi}{\lambda_2} r_2 \quad (0.61)$$

注意两条传播路径的介质折射率可能不同， λ_1 与 λ_2 不一定相等。

由叠加原理，总振幅是

$$E = E_{10} \cos(\omega_1 t + \phi_1(\vec{r})) + E_{20} \cos(\omega_2 t + \phi_2(\vec{r})) \quad (0.62)$$

$$E^2 = E_{10}^2 \cos^2(\omega_1 t + \phi_1(\vec{r})) + E_{20}^2 \cos^2(\omega_2 t + \phi_2(\vec{r})) + E_{10}E_{20}\{\cos[(\omega_1 + \omega_2)t + \phi_1 + \phi_2] + \cos[(\omega_1 - \omega_2)t + \phi_1 - \phi_2]\} \quad (0.63)$$

当 $\omega_1 \neq \omega_2$ 时，交叉项的时间均值为零，

$$I = 2\langle E^2 \rangle = 2\langle E_{10}^2 \cos^2(\omega_1 t + \phi_1(\vec{r})) + E_{20}^2 \cos^2(\omega_2 t + \phi_2(\vec{r})) \rangle \quad (0.64)$$

$$I = E_{10}^2 + E_{20}^2 = I_1 + I_2 \quad (0.65)$$

P点观测到的光强是两束光的光强之和，不存在干涉现象。

从上面的分析，我们得出产生干涉的必要条件（**相干条件**）是：

- (1) 存在互相平行的电场分量；
- (2) 频率相同；
- (3) 相位差稳定。

两列同频同振向的相干光波叠加后，总光强为

$$I = I_1 + I_2 + 2\sqrt{I_1 I_2} \langle \cos \delta \rangle \quad (0.66)$$

其中 δ 是两列波在该点的相位差，

$$\delta = \phi_1 - \phi_2 = \left(\phi_{10} - \frac{2\pi}{\lambda_1} r_1 \right) - \left(\phi_{20} - \frac{2\pi}{\lambda_2} r_2 \right) = \varphi + \frac{2\pi}{\lambda_0} (n_2 r_2 - n_1 r_1) \quad (0.67)$$

上式中，

$$\varphi \stackrel{\text{def}}{=} \phi_{10} - \phi_{20} \quad (0.68)$$

是光源处的初相位之差； λ_0 是单色光在真空中的波长； n_1 和 n_2 是两束光经过的介质的折射率； r_1 和 r_2 分别是两束光传播到P点所经过的直线距离。干涉条纹的强度与**光程差**

$$L \stackrel{\text{def}}{=} n_2 r_2 - n_1 r_1 \quad (0.69)$$

有关。

普通光源的发光过程，是由其中的分子或原子进行的微观过程，初相位与发光时的状态有关。分子或原子发光不是持续的，时间 τ 一般不超过 10^{-8} 秒，发出长度 $c\tau$ 的波列。不同的原子，或同一原子不同次发光时，波列的振向、初相位随机变化。这导致在观测时间（一般较长）内，初相位之差 φ 是随机数，

$$\langle \cos \delta \rangle = 0 \quad (0.70)$$

不能满足相干条件。因此，必须设法使同一原子、同一次发光的波列分成两束，经过不同路

径传播后再叠加，才能在重叠区域产生稳定的干涉场。

激光光源的发光机制与普通光源不同。激光的波列很长，有良好的相干性，能够实现两个独立激光器发出的光束的干涉。快速光电感应器的技术进展，也使得人们能够观察到较短波列的干涉现象。

3. 干涉条纹

单色相干光源发出的两束光，叠加之后得到的光强分布为

$$I = I_1 + I_2 + 2\sqrt{I_1 I_2} \cos \delta \quad (0.71)$$

其中相位差满足

$$\delta = 2m\pi, \quad m \in \mathbb{Z} \quad (0.72)$$

的点，光强为极大值

$$I_{\max} = I_1 + I_2 + 2\sqrt{I_1 I_2} \quad (0.73)$$

称为干涉极大；而相位差满足

$$\delta = (2m + 1)\pi, \quad m \in \mathbb{Z} \quad (0.74)$$

的点，光强取极小值

$$I_{\min} = I_1 + I_2 - 2\sqrt{I_1 I_2} \quad (0.75)$$

称为干涉极小。

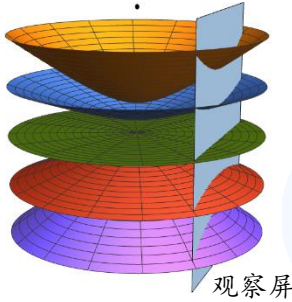


图 0-19 各级干涉极大

当两束光经过不同介质时，把上述相位差判据改写为等价的光程差判据会更方便。设相干光从同一光源发出，初相位之差为零，则光程差与光强的关系为

$$\Delta L = L_2 - L_1 = \begin{cases} m\lambda_0, m \in \mathbb{Z}, & \text{干涉极大} \\ \left(m + \frac{1}{2}\right)\lambda_0, m \in \mathbb{Z}, & \text{干涉极小} \end{cases} \quad (0.76)$$

单色光的干涉表现为明暗相间的条纹。干涉现象的显著程度可用反衬度 γ 描述，

$$\gamma \stackrel{\text{def}}{=} \frac{I_{\max} - I_{\min}}{I_{\max} + I_{\min}} \quad (0.77)$$

反衬度的取值范围为 $\gamma \in [0, 1]$ 。

对两束单色相干光，反衬度是

$$\gamma = \frac{2\sqrt{I_1 I_2}}{I_1 + I_2} \quad (0.78)$$

两束光的光强相等时 $\gamma = 1$ ，干涉条纹最清晰。

令

$$I_0 = I_1 + I_2 \quad (0.79)$$

双光束干涉场的光强分布可以写成

$$I = I_0(1 + \gamma \cos \delta) \quad (0.80)$$

4. 杨氏干涉实验

1802 年，托马斯·杨（Tomas Young 英国物理学家，光的波动说的奠基人之一）用一种巧妙的方法稳定了两个点光源之间的相位差。实验装置如图所示。

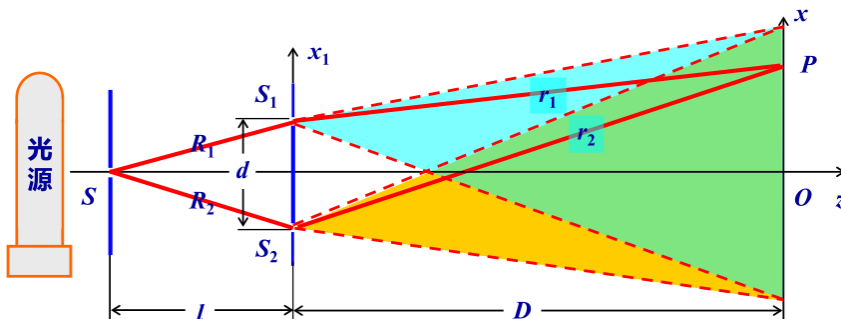


图 0-20 双缝干涉装置

用单色光照射带有针孔 S 的不透光屏， S 可看成点光源，发出球面波。当球面波到达带有两个不透光针孔 S_1 和 S_2 的不透光屏时， S_1 和 S_2 分别发出两列球面波。

这两列球面波是相干光， S_1 和 S_2 可看成是相干光源。原因是 S_1 和 S_2 处的初相位由距离 SS_1 和 SS_2 确定，只要两者的距离差小于单次发光的波列长度，双孔之后的两列波相位差是稳定的。

在两列波的重叠区放置一个屏幕，将观察到干涉条纹。

双孔发出的光波，实际上是由单孔发出的波前（wave front，或称波面）的不同部分发出，故称为**分波前干涉**。

为了提高干涉条纹的亮度，常用互相平行的三条狭缝取代三个小孔，狭缝的方向垂直于示意图的纸面。也可以用目镜代替观察屏，直接观察条纹。如果光源是激光器，得益于激光的高亮度和高相干性，直接用激光照射双孔，就可以看到清晰明亮的图样。

下面具体分析杨氏双缝干涉实验的光强分布。

设双缝等宽，中心距离为 d 。单缝与双缝等距，双缝到观察屏的垂直距离为 D 。记屏幕上任意一点 P ，到双缝的距离为 r_1 和 r_2 ，到原点 O 的距离为 x 。一般来说，双缝距离小到毫米以下，而双缝与观察屏的距离约几米， $d \ll D$ 且 $x \ll D$ 。

空气的折射率约为 1。两列波在 P 点的光程差是

$$\Delta L = L_2 - L_1 = \sqrt{D^2 + \left(x + \frac{d}{2}\right)^2} - \sqrt{D^2 + \left(x - \frac{d}{2}\right)^2} \approx \frac{d}{D}x \quad (0.81)$$

第 m 级干涉极大的位置在

$$x = m \frac{D\lambda_0}{d}, \quad m = 0, \pm 1, \pm 2, \dots \quad (0.82)$$

第 m 级干涉极小的位置为

$$x = \left(m + \frac{1}{2}\right) \frac{D\lambda_0}{d}, \quad m = 0, \pm 1, \pm 2, \dots \quad (0.83)$$

相邻量极大或极小之间的距离 Δx 称为**干涉条纹间隔**，

$$\Delta x = \frac{D\lambda_0}{d} \quad (0.84)$$

它反映了干涉条纹的疏密程度。

把光程差 ΔL 换算成相位差 δ ,

$$\delta = \frac{2\pi}{\lambda_0} \Delta L = \frac{2\pi d}{\lambda_0 D} x \quad (0.85)$$

得屏幕上的光强分布为

$$I(x) = I_0 \left[1 + \cos \left(\frac{2\pi d}{\lambda_0 D} x \right) \right] = 2I_0 \cos^2 \left(\frac{\pi d}{\lambda_0 D} x \right) \quad (0.86)$$

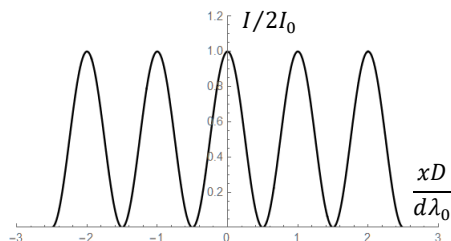


图 0-21 双缝干涉强度分布



图 0-22 双缝干涉图样 (模拟图)

如果用白光入射,则每一种波长成分都会形成一套干涉条纹。由于条纹间距与波长有关,除了第零级条纹仍是白色之外,其他各级亮条纹都将变成彩色,而且级次越高,干涉条纹越模糊。

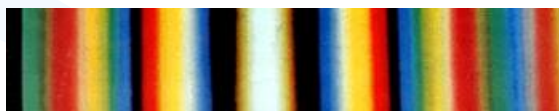


图 0-23 白光的双缝干涉

考虑波长在 $[\lambda, \lambda + \Delta\lambda]$ 之间的复色光入射。设最短波长 λ 的 $m+1$ 级极大,刚好与最长波长 λ 的第 m 级极大重合,

$$(m+1) \frac{D}{d} \lambda = m \frac{D}{d} (\lambda + \Delta\lambda) \Rightarrow m = \frac{\lambda}{\Delta\lambda} \quad (0.87)$$

第 m 级彩色亮带与第 $m+1$ 级彩色亮带衔接,没有暗带间隔。如果 $\Delta\lambda$ 较小,人眼看不出颜色区别,同时第 m 级之后的条纹也分不出明显的明暗变化。这时的光程差

$$\Delta L_M = m\lambda = \frac{\lambda^2}{\Delta\lambda} \quad (0.88)$$

称为**最大相干光程差**。

上述最大相干光程差公式,适用于任何双光束干涉装置。光源的单色性越好,则最大相干光程差越大。

例 讨论移动光源时,干涉图样的变化。

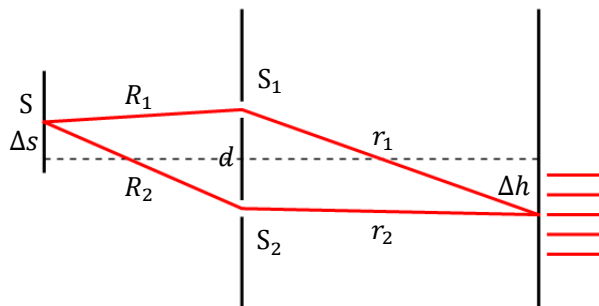


图 0-24 光源与干涉图样的移动

解:

移动双缝实验中的单缝光源,使之偏离光轴 Δs ; 零级亮条纹的位置将偏移 Δh (以向上为正), 相位差的改变为零,

$$\frac{2\pi d}{\lambda_0 l} \Delta s + \frac{2\pi d}{\lambda_0 D} \Delta h = 0 \quad (0.89)$$

因此有

$$\frac{\Delta s}{l} = -\frac{\Delta h}{D} \quad (0.90)$$

零级条纹的移动方向，与光源的移动方向相反。

实际光源都有一定的宽度，是**扩展光源**，可以看成很多独立的发光点组成。各点发出的光波初相位随机，互相之间没有关联，不满足相干条件。干涉场中某点上的光强，是从各点源传播来的光强之和。

当光源宽度 **b** 达到**临界宽度** b_c 时，光源边缘处发光点形成的条纹，刚好与光源中心点形成的条纹明暗互补，非相干叠加后条纹消失。此时

$$\frac{2\pi d b_c}{\lambda_0 l} = \pi \quad (0.91)$$

所以临界宽度是

$$b_c = \frac{l}{d} \lambda_0 \quad (0.92)$$

如果把整个干涉装置浸没在水中，光的波长变短，干涉条纹变密，上述结论只需替换波长即可。当介质的折射率 $n \neq 1$ 时，

$$b < b_c = \frac{l}{d} \lambda \quad (0.93)$$

例 在杨氏双缝实验中，屏与双缝距离为 1m，用波长 589.3nm 的钠光灯作为光源。设人眼能分辨最小距离为 0.15mm 的两条明纹。为了看到干涉条纹的，双缝的最大间距是多少？

解：利用我们得到条纹间隔公式，

$$\Delta x = \frac{D\lambda_0}{d} \Rightarrow d = \frac{D\lambda_0}{\Delta x} \quad (0.94)$$

计算的最大间距，

$$d = \frac{1\text{m} \cdot 589.3\text{nm}}{0.15\text{mm}} = 3.93\text{mm} \quad (0.95)$$

例 用很薄的透明云母片（折射率 $n = 1.58$ ）覆盖在双缝实验的一条缝上，发现屏幕上的第 7 级明条纹刚好移到观察屏中央，即原来的 0 级明条纹的位置。实验中使用的入射光波长是 550nm。求云母片的厚度 h 。

解：按题意，在移动云母片以覆盖其中一条缝的过程中，经两条缝的两束光波到达观察屏时，光程差改变了 7 倍波长。改变的原因是云母片的折射率 1.58 不等于空气的折射率 1，

$$(1.58 - 1)h = 7 \times 550\text{nm} \quad (0.96)$$

解出 $h = 6.6\mu\text{m}$ 。

用双缝干涉可以精确测量样品厚度。如果已知样品厚度和波长，也可以用双缝装置来测量材料的折射率。

5. 薄膜干涉*

当一束单色光照射到透明介质薄膜时，在薄膜上表面会产生反射光和折射光。折射光在下表面反射后，再从上表面折射回原来的介质。两表面的反射光束是相干的，在重叠区域发

生干涉。

两列波都是从入射光在同一空间位置（上表面）分离出来的，所以薄膜干涉称为**分振幅干涉**。分波前法和分振幅法是从普通光源获得相干光的主要方法。

如图所示，光源发出的单色平行光照射到薄膜上。薄膜的上下表面近似平行，因此两表面的反射光近似平行，汇聚于无穷远处。薄膜厚度为 h ，折射率为 n ，薄膜上方介质的折射率为 n_1 ；光的入射角为 θ_i ，折射角为 θ_r 。

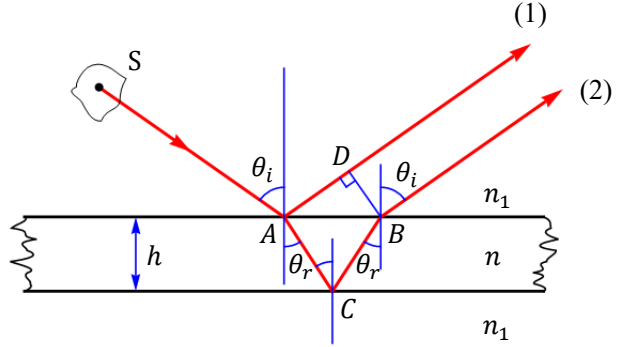


图 0-25 薄膜干涉

上表面是光疏介质到光密介质的界面，下表面是光密介质到光疏介质的界面。电磁理论可以证明，光在这样两种性质相反的界面反射时，两反射光之间会产生大小为 π 的附加相位差，等效于半个波长的额外光程差，称之为**半波损失**。

两束出射光的光程差为

$$\Delta L = n(|AC| + |CB|) - n_1|AD| + \frac{\lambda}{2} \quad (0.97)$$

由于

$$|AC| \approx |BC| \approx \frac{h}{\cos \theta_r} \quad (0.98)$$

$$|AD| \approx |AB| \sin \theta_i \approx 2h \tan \theta_r \sin \theta_i \quad (0.99)$$

光程差近似为

$$\Delta L = \frac{2nh}{\cos \theta_r} - 2n_1 h \tan \theta_r \sin \theta_i + \frac{\lambda}{2} \quad (0.100)$$

$$= \frac{2h}{\cos \theta_r} (n - n_1 \sin \theta_r \sin \theta_i) + \frac{\lambda}{2} \quad (0.101)$$

再由折射定律

$$n_1 \sin \theta_i = n \sin \theta_r \quad (0.102)$$

$$\Delta L = \frac{2h}{\cos \theta_r} n(1 - \sin^2 \theta_r) + \frac{\lambda}{2} \quad (0.103)$$

化简后得

$$\Delta L = 2nh \cos \theta_r + \frac{\lambda}{2} \quad (0.104)$$

或者写成

$$\Delta L = 2h \sqrt{n^2 - n_1^2 \sin^2 \theta_i} + \frac{\lambda}{2} \quad (0.105)$$

对于等厚度的均匀薄膜， n, h 都是常数，光程差只取决于入射角 θ_i 。具有相同入射角的入射光束所形成的两束反射光，具有相同的光程差，叠加后属于同一级干涉条纹，因此等厚薄膜的干涉又称**等倾干涉**。

下图为观察等倾干涉现象的实验装置。其中 M 是半反射镜，与薄膜夹角为 45° 。点光源 S 发出的同一锥面（以 S 为顶点，水平方向为对称轴）上的光线，被 M 反射后，以相同角度入

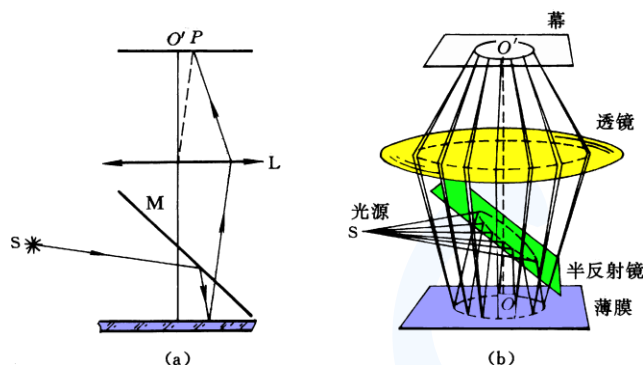


图 0-26 等倾干涉的观察装置

射薄膜上表面。在薄膜上、下表面反射后，形成锥面形状的相干反射光，且两个锥面平行。两反射光被凸透镜汇聚于焦平面处的屏幕上，形成一个圆周。

屏幕上的点是上下表面反射的两光线交会处，透镜 L 不改变两者的光程差。同一圆周上的点对应的倾角相等，所以等光程，从而等倾干涉条纹为圆环形。

等倾干涉条纹的大小可以用折射角表示，亮圆环满足

$$2nh \cos \theta_r + \frac{\lambda}{2} = m\lambda, \quad m = 0, 1, 2, \dots \quad (0.106)$$

而暗圆环则满足

$$2nh \cos \theta_r = m\lambda, \quad m = 0, 1, 2, \dots \quad (0.107)$$

等倾条纹为一组中心疏，边缘密的同心圆环，干涉级次内高外低。

改变等倾干涉装置中点光源 S 的位置，不会改变干涉条纹半径。所以实际观察时，总是使用面光源，以使条纹更加明亮清晰。



图 0-27 等倾干涉条纹（示意图）

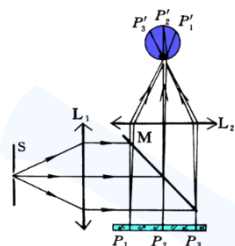


图 0-28 等厚条纹的观察装置

如果薄膜的厚度不均匀，使用平行光垂直入射薄膜，可以使上下表面反射光的光程差只与该处的厚度有关。观察装置如图所示。

两束光的光程差为

$$\Delta L = 2nh + \frac{\lambda}{2} \quad (0.108)$$

因此明条纹的位置满足

$$2nh + \frac{\lambda}{2} = m\lambda, \quad m = 0, 1, 2, \dots \quad (0.109)$$

暗条纹位置满足

$$2nh = m\lambda, \quad m = 0, 1, 2, \dots \quad (0.110)$$

同级干涉条纹对应薄膜的等厚线，这种干涉称为**等厚干涉**。

例 劈尖干涉

两块平板玻璃叠合在一起，一端接触，上面玻璃的另一端微微抬起。用单色光垂直于表

面入射。玻璃之间的空气形成一个劈尖。在两块玻璃的四个表面有 4 束反射光。

玻璃有一定的厚度，只有空气层上下表面的反射光光程差没有超过最大相干光程差，等厚条纹由这两束光相干叠加后确定。两束光的光程差为 $\Delta L = 2h - \lambda/2$ ，干涉条纹是与棱边平行的直条纹。

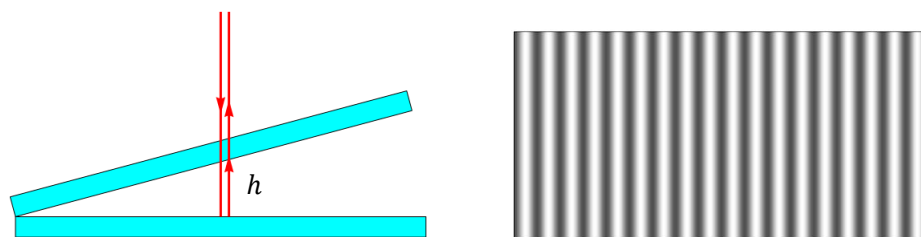


图 0-29 劈尖干涉

例 牛顿环装置

一块平凸透镜放置在平板玻璃上，两者之间的空气膜上下表面的反射光相干叠加，形成等厚干涉条纹。光程差是

$$\Delta L = 2h + \frac{\lambda}{2} = 2 \left(R - \sqrt{R^2 - r^2} \right) - \frac{\lambda}{2} \approx \frac{r^2}{R} - \frac{\lambda}{2} \quad (0.111)$$

条纹是同心圆，半波损失使得圆心是暗斑。第 m 级明条纹的半径满足

$$\frac{r_m^2}{R} - \frac{\lambda}{2} = m\lambda \quad (0.112)$$

$$r_m = \sqrt{(m + 1/2)R\lambda} \quad (0.113)$$

若记中间为第 0 级暗斑，则向外第 m 条暗条纹的位置在

$$r'_m = \sqrt{mR\lambda} \quad (0.114)$$

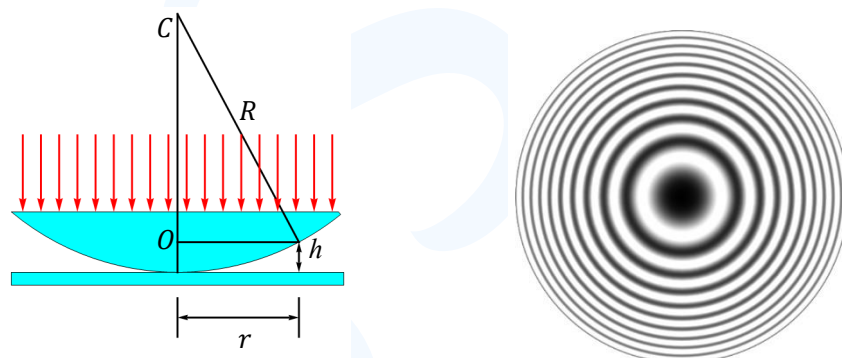


图 0-30 牛顿环

§0.4 光的衍射

1. 衍射现象

光波遇到障碍物时，会偏离几何光学的直线传播而绕行，这种现象称为光的衍射（diffraction）。衍射可以使几何阴影区内产生明纹或亮斑，也可以使几何照明区出现暗纹或暗斑。

衍射是一切波动的共同特征。“未见其人，先闻其声”，是声波的衍射。在日常生活中，人们随时可见声波、水波和低频无线电波的衍射，但是很少觉察到光波衍射。原因是光波的波长较短，且普通光源是非相干的面光源。

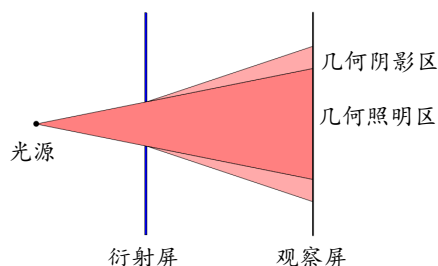


图 0-31 衍射装置

格里马耳迪 (F.M. Grimaldi) 于 1863 年首先观察到光的衍射现象：用一个点光源照明小棍，在小棍阴影中出现了光带。

夜晚看远处的路灯，或者对路灯、星空拍照，能观察到拉长的光芒，这是光在瞳孔或镜头光阑形成的衍射图样 (diffraction pattern)。

当我们用高亮度的相干光源，照亮不同形状遮光屏（称为衍射屏），在其后的观察屏（又称接收屏）上能看到清晰的衍射图样。不同的衍射屏，衍射图样不同。

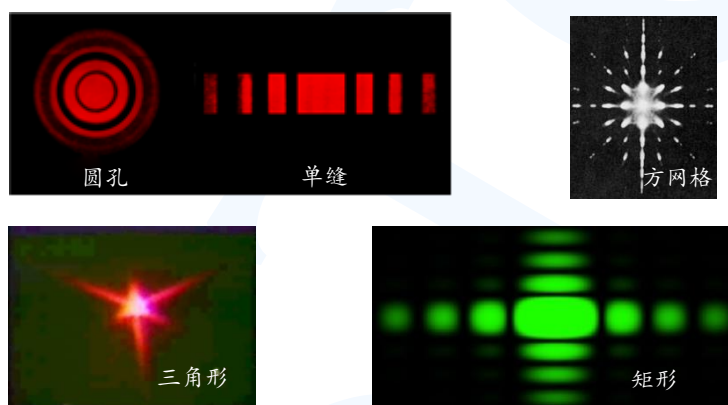


图 0-32 几种衍射图样

衍射现象有两个鲜明的特征：

(1) 限制越严，扩展越烈。光束在衍射屏的某一方向受到限制，那么远处观察屏上的光强就沿该方向扩展开来。

(2) 障碍物的尺度 ρ 与波长 λ 之比，决定了衍射的强弱——当 $\rho > 10^3 \lambda$ 时，衍射不明显，近乎直线传播；当 $\lambda < \rho < 10^3 \lambda$ 时，衍射效应显著，观察屏上出现与衍射屏对应的衍射图样；当 $\rho < \lambda$ 时，衍射现象极其明显，向光的散射过渡。

2. 惠更斯-菲涅尔原理

法国物理学家菲涅尔 (A.I. Fresnel, 1788-1827)，1818 年在惠更斯 (Christiaan Huygens, 1629-1695) 的基础上，提出了“次波相干叠加”的概念。

光源 S 发出的光波到达波前 Σ ，波前 Σ 上任一面元 $d\Sigma$ 均发出次波，次波在点 P 相干叠加后得到该点的总复振幅。

惠更斯-菲涅尔原理表达为

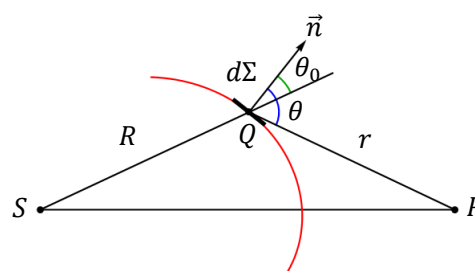


图 0-33 惠更斯-菲涅尔原理

$$\tilde{E}(P) = \iint_{\Sigma} d\tilde{E}(P) \quad (0.115)$$

各列次波对 P 点贡献的复振幅 $d\tilde{E}(P)$ 分析如下：

$$\begin{aligned} d\tilde{E}(P) &\propto \tilde{E}_0(Q) && \text{面元中心的复振幅} \\ &\propto d\Sigma && \text{面元的面积} \\ &\propto \frac{e^{ikr}}{r} && \text{次波源发射球面波到达场点 } P \\ &\propto F(\theta_0, \theta) && \text{倾斜因子, 面元发射的次波并非各向同性} \end{aligned} \quad (0.116)$$

最后得到菲涅尔衍射积分公式，

$$\tilde{E}(P) = K \iint_{\Sigma} \tilde{E}_0(Q) F(\theta_0, \theta) \frac{e^{ikr}}{r} d\Sigma \quad (0.117)$$

其中常数 K 是比例因子。

3. 基尔霍夫衍射公式

六十多年后的 1880 年，德国物理学家基尔霍夫（G.R. Kirchhoff, 1824-1887）利用光的电磁理论，严格证明了

$$\tilde{E}(P) = -\frac{i}{\lambda} \iint_{\Sigma} \frac{\cos \theta_0 + \cos \theta}{2} \tilde{E}_0(Q) \frac{e^{ikr}}{r} d\Sigma \quad (0.118)$$

称为**菲涅尔-基尔霍夫衍射公式**。所以倾斜因子为

$$F(\theta_0, \theta) = \frac{\cos \theta_0 + \cos \theta}{2} \quad (0.119)$$

比例常数是

$$K = -\frac{i}{\lambda} \quad (0.120)$$

入射光与衍射光不都是平行光的衍射，称为**菲涅尔衍射**或**近场衍射**；入射光与衍射光都是平行光的衍射，称为**夫琅和费衍射**（Fraunhofer diffraction）或**远场衍射**。

平行光几乎垂直入射衍射屏的夫琅和费衍射，满足傍轴条件

$$\theta_0 \approx 0, \quad \theta \approx 0 \quad (0.121)$$

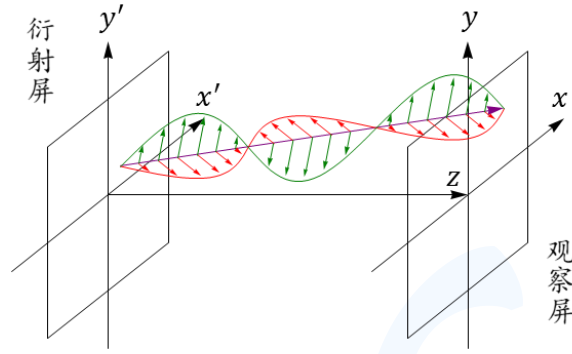


图 0-34 夫琅禾费衍射

在傍轴近似以及远场近似下，观察屏上的复振幅为

$$\tilde{E}(x, y) = -\frac{i}{\lambda} \frac{e^{ik\left(z + \frac{x^2 + y^2}{2z}\right)}}{z} \iint_{-\infty}^{\infty} \tilde{E}_0(x', y') \tilde{t}(x', y') e^{-i\frac{k}{z}(xx' + yy')} dx' dy' \quad (0.122)$$

其中 $\tilde{t}(x', y')$ 是**屏函数**，表示衍射屏对入射光波的调制，其模长 $|\tilde{t}| \leq 1$ 表示振幅透过率，相因子表示衍射屏导致的相位延迟。

如果入射光是平面波，振幅 $\tilde{E}_0(x', y')$ 是常数，那么观察屏上的复振幅 $\tilde{E}(x, y)$ 是屏函数的傅立叶变换。衍射的过程，即积分变换。

由衍射公式可以导出一个有用的结论。考虑一对互补的衍射屏，衍射屏**a**透光的部分，正好是衍射屏**b**不透光的部分，反之亦然，满足

$$\tilde{t}_a + \tilde{t}_b = 1 \quad (0.123)$$

图 0-35 互补的衍射屏

$\tilde{t} = 1$ 即衍射屏不存在，入射光不受障碍地自由传播；那么有

$$\tilde{E}_a(P) + \tilde{E}_b(P) = \tilde{E}_0(P) \quad (0.124)$$

以互补屏分别作为衍射屏得到的复振幅分布之和，等于无屏的复振幅 $\tilde{E}_0(P)$ 。这个结论称为**巴比涅原理**（A. Babinet）。

在夫琅和费衍射系统中，经常会用两组透镜实现平行光入射，以及出射平行光的汇聚叠加。无衍射屏时，观察屏上只有一个像点是亮点，其它点处的复振幅均为零，

$$\tilde{E}_0(P) = 0 \quad (0.125)$$

于是

$$\tilde{E}_a(P) = -\tilde{E}_b(P) \quad (0.126)$$

$$I_a(P) = I_b(P) \quad (0.127)$$

除几何像点之外，互补屏产生的衍射图样完全相同，而不是明暗互补。

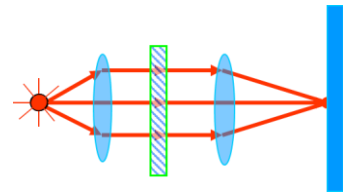


图 0-36 互补屏的衍射

4. 单缝夫琅和费衍射

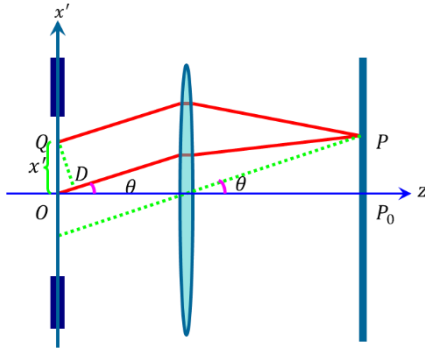


图 0-37 单缝衍射

以一个宽为 a 的狭缝作为衍射屏，进行夫琅和费衍射，建立坐标系如图。

接收屏上的复振幅为

$$\tilde{E}(x) \propto \int_{-\frac{a}{2}}^{\frac{a}{2}} e^{-i\frac{k}{z}xx'} dx' \propto \text{sinc} \frac{kax}{2z} \quad (0.128)$$

其中辛格函数的定义是

$$\sin x \stackrel{\text{def}}{=} \begin{cases} \frac{\sin x}{x}, & x \neq 0 \\ 1, & x = 0 \end{cases} \quad (0.129)$$

由于满足傍轴条件，

$$\sin \theta \approx \frac{x}{z} \quad (0.130)$$

衍射角 θ 是接收屏上 P 点对应的衍射光线与入射线的夹角。再引进参数

$$\alpha \stackrel{\text{def}}{=} \frac{ka}{2} \sin \theta = \frac{\pi a}{\lambda} \sin \theta \quad (0.131)$$

接收屏上的复振幅分布可以写成

$$\tilde{E} = \tilde{E}_0 \text{sinc} \alpha \quad (0.132)$$

光强分布为

$$I = I_0 \text{sinc}^2 \alpha \quad (0.133)$$

相对强度 $I/I_0 = \text{sinc}^2 \alpha$ 称为单缝衍射因子。

零级衍射斑的中心为**主极强**，出现在 $\theta = 0$ 处，即几何光学的像点。零级衍射斑集中了绝大部分的光能。

次极强的位置满足

$$\frac{d}{d\alpha} \left(\frac{\sin \alpha}{\alpha} \right) = 0 \Rightarrow \alpha = \tan \alpha \quad (0.134)$$

这个超越方程的正根，有渐进表达式

$$\alpha \approx \left(n + \frac{1}{2} \right) \pi - \frac{1}{\left(n + \frac{1}{2} \right) \pi}, \quad n = 1, 2, 3, \dots \quad (0.135)$$

或者

$$\alpha = \pm 1.43\pi, \pm 2.46\pi, \pm 3.47\pi, \dots \quad (0.136)$$

衍射角 θ 满足

$$\sin \theta = \pm 1.43 \frac{\lambda}{a}, \pm 2.46 \frac{\lambda}{a}, \pm 3.47 \frac{\lambda}{a}, \dots \quad (0.137)$$

次极强的光强，比主极强的光强小得多。

暗条纹的位置满足

$$\text{sinc} \alpha = 0 \Rightarrow \alpha = m\pi, \sin \theta = m \frac{\lambda}{a}, \quad m = \pm 1, \pm 2, \pm 3, \dots \quad (0.138)$$

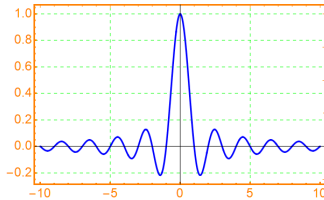


图 0-38 单缝衍射的复振幅

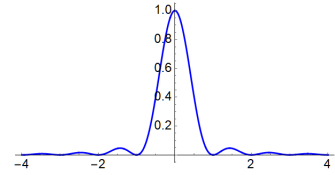


图 0-39 单缝衍射的光强分布

相邻暗纹之间的角距离为亮斑的**角宽度**。零级衍射斑的**半角宽**是

$$\Delta\theta = \frac{\lambda}{a} \quad (0.139)$$

比高级衍射斑的半角宽大一倍。

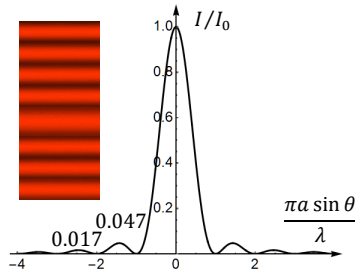


图 0-40 单缝衍射的衍射斑

可见缝宽越小，衍射斑越宽；反之，当缝宽很大时， $\Delta\theta \rightarrow 0$ ，衍射场集中在原方向，相当于直线传播。

从另一方面看，当波长 $\lambda \rightarrow 0$ 时， $\Delta\theta$ 趋于零，衍射效应可以忽略，因此几何光学是波动光学的短波极限。

细丝是单缝的互补屏，除了几何像点，其衍射图样与单缝衍射图样完全相同。

例 在夫琅禾费单缝衍射中，使用波长 546nm 的单色平行光作为入射光源，缝宽 0.1mm，透镜焦距 50cm，观察屏在透镜后方的焦平面处。求中央明纹的宽度。

解：中央明纹的半角宽为

$$\Delta\theta = \frac{\lambda}{a} = \frac{546\text{nm}}{0.1\text{mm}} = 5.46 \times 10^{-3}\text{rad} \quad (0.140)$$

条纹宽度是

$$\Delta x = f \cdot 2\Delta\theta = 50 \times 2 \times 5.46 \times 10^{-3} = 0.546\text{cm} \quad (0.141)$$

5. 圆孔夫琅和费衍射*

光学仪器的光瞳通常是圆形的，圆孔衍射对于分析仪器的成像能力有重要意义。把单缝衍射屏换成圆孔衍射屏，就成了夫琅和费圆孔衍射装置。

利用基尔霍夫衍射公式，可求得圆孔衍射的强度分布

$$I = I_0 \left[\frac{2J_1(x)}{x} \right]^2 \quad (0.142)$$

其中 $J_1(x)$ 是一阶贝塞尔函数，

$$x \stackrel{\text{def}}{=} \frac{2\pi a}{\lambda} \sin \theta \quad (0.143)$$

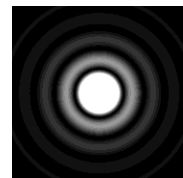
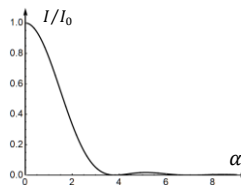
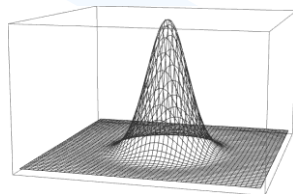


图 0-41 圆孔衍射的艾里斑

衍射图样为同心圆，中间 $\theta=0$ 处取得最大光强，称为**中央极大**。中央亮斑称为**艾里斑**。艾里斑占有全部光能的83.8%，中间是几何光学的像点。艾里斑的半角宽为

$$\Delta\theta = 1.22 \frac{\lambda}{D} \quad (0.144)$$

上式中 D 是圆孔直径。

艾里斑给出了传统光学成像系统的分辨率极限。成像时，每一个物点在像平面对应的不是一个几何像点，而是一个艾里斑。两个物点靠得很近时，两个艾里斑会重叠在一起，无法分辨。



图 0-42 瑞利判据

两个艾里斑的角距离刚好等于每个艾里斑的半角宽，是两个点能够被分辨的极限条件，称为**瑞利判据**。

例 人眼瞳孔直径约 3mm，最敏感的黄绿光波长是 550nm。求眼睛的最小分辨角，并计算在明视距离 25cm 处能看清的最小间隔。

解：由瑞利判据，最小分辨角为

$$\Delta\theta = 1.22 \frac{\lambda}{D} = 2.2 \times 10^{-4} \text{rad} \quad (0.145)$$

明视距离处能看清的最小间隔是

$$\Delta x = d \cdot \Delta\theta = 25 \times 2.2 \times 10^{-4} = 0.055 \text{mm} \quad (0.146)$$

6. 光栅*

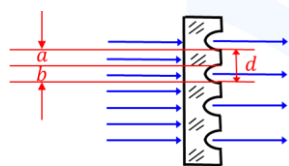


图 0-43 透射型光栅

光栅是具有周期性空间结构或光学性能的衍射屏。常用的透射光栅，是在一块不透明的平板（比如在玻璃上镀膜）上，刻画出一系列等宽等距的平行透光狭缝。

利用光栅衍射可以分析光谱和物质结构。

设光栅透光部分宽度（缝宽）为 a ，不透光部分宽度为 b ，**光栅常数** $d = a + b$ ，狭缝的数目为 N 。那么衍射屏上的复振幅为

$$\tilde{E}(x) \propto \sum_{n=0}^{N-1} \int_{-\frac{a}{2}+nd}^{\frac{a}{2}+nd} e^{-i\frac{k}{z}xx'} dx' = \left(\sum_{n=0}^{N-1} e^{-i\frac{k}{z}xnd} \right) \int_{-\frac{a}{2}}^{\frac{a}{2}} e^{-i\frac{k}{z}xx'} dx' \quad (0.147)$$

$$\tilde{E}(x) \propto \frac{e^{-iNdk\frac{x}{z}} - 1}{e^{-idk\frac{x}{z}} - 1} \text{sinc } \alpha \quad (0.148)$$

引进符号

$$\delta \stackrel{\text{def}}{=} \frac{2\pi d}{\lambda} \sin \theta \quad (0.149)$$

那么有

$$d \frac{k}{z} x \approx \delta, \quad \tilde{E} \propto e^{-i \frac{N-1}{2} \delta} \frac{\sin \frac{N\delta}{2}}{\sin \frac{\delta}{2}} \operatorname{sinc} \alpha \quad (0.150)$$

接收屏上的实振幅为

$$E = E_0 \frac{\sin(N\delta/2)}{\sin(\delta/2)} \operatorname{sinc} \alpha \quad (0.151)$$

光栅衍射振幅是多缝干涉因子

$$\frac{\sin(N\delta/2)}{\sin(\delta/2)} \quad (0.152)$$

和单缝衍射因子 $\operatorname{sinc} \alpha$ 的乘积。

从计算过程我们可以看出，干涉和衍射现象都是叠加原理造成的结果，只不过干涉是可数项振幅的求和，衍射是对连续无穷多项振幅的积分。

强度分布是实振幅的平方，

$$I = I_0 \left(\frac{\sin \alpha}{\alpha} \right)^2 \left(\frac{\sin(N\delta/2)}{\sin(\delta/2)} \right)^2, \quad \alpha = \frac{\pi a}{\lambda} \sin \theta, \quad \delta = \frac{2\pi d}{\lambda} \sin \theta \quad (0.153)$$

光栅在一厘米内有几百到上万条刻痕，多缝干涉因子随衍射角快速变化。相对的，单缝衍射因子是缓慢变化的函数，在局部可近似地当成常数。

忽略缓变的单缝衍射因子，则光强的变化由多缝干涉因子

$$g(\delta) = \begin{cases} N^2, & \delta = 2m\pi, m \in \mathbb{Z} \\ \left(\frac{\sin(N\delta/2)}{\sin(\delta/2)} \right)^2, & \delta \neq 2m\pi \end{cases} \quad (0.154)$$

决定。求导得

$$g'(\delta) = \begin{cases} 0, & \delta = 2m\pi \\ \frac{\sin N\delta/2}{\sin^3 \delta/2} \left(N \sin \frac{\delta}{2} \cos \frac{N\delta}{2} - \cos \frac{\delta}{2} \sin \frac{N\delta}{2} \right), & \delta \neq 2m\pi \end{cases} \quad (0.155)$$

主极大的位置满足

$$\delta = 2m\pi, \quad m \in \mathbb{Z} \quad (0.156)$$

次极大的位置满足

$$\cot \frac{\delta}{2} = N \cot \frac{N\delta}{2}, \quad \sin \frac{\delta}{2} \neq 0 \quad (0.157)$$

而零点的位置在

$$\delta = 2\pi(m + n/N), \quad m = 0, \pm 1, \pm 2, \dots; n = 1, 2, \dots, N-1 \quad (0.158)$$

可见两个主极大之间，有 $N-1$ 个零点，有 $N-2$ 个次极大。

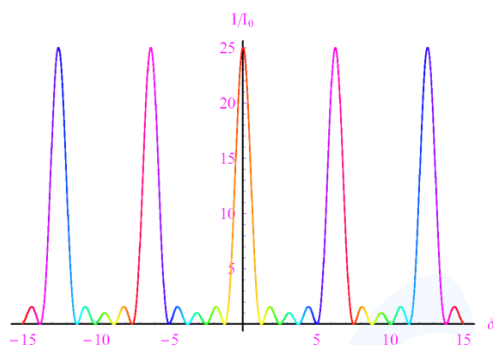


图 0-44 $N = 5$ 时的多缝干涉因子

从主极大到相邻的极小（零点）之间的角距离 $\Delta\theta$ 称为半角宽，

$$\Delta\delta = 2\pi(m + 1/N) - 2m\pi = 2\pi/N \quad (0.159)$$

$$\Delta\theta = \frac{\lambda}{Nd \cos \theta_m} \approx \frac{\lambda}{Nd} \quad (0.160)$$

当 N 很大时，能量高度集中于各级主极大方向，衍射图样是黑背景上的亮线，正适合用来作精密测量。

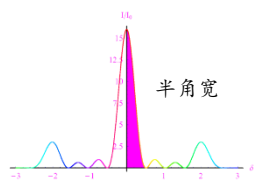


图 0-45 主极大的半角宽

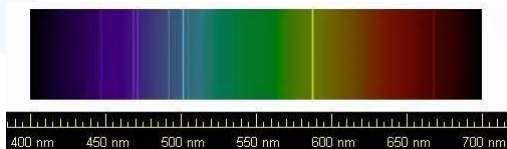


图 0-46 氢的吸收光谱

主极大满足的关系

$$\delta = 2m\pi \quad (0.161)$$

给出光栅方程

$$d \sin \theta = m\lambda \quad (0.162)$$

例 以波长为 589.3 nm 的钠黄光垂直入射到光栅上，测得第二级谱线的偏角为 28.1°；用另一未知波长的单色光入射时，其第一级谱线的偏角为 13.5°。

(1) 试求未知波长；

(2) 试问未知波长的谱线最多能观测到第几级？

解：(1) 记

$$\lambda_0 = 589.3 \text{ nm}, \quad \theta_0 = 28.1^\circ, \quad k_0 = 2, \quad (0.163)$$

$$\theta = 13.5^\circ, \quad k = 1, \quad (0.164)$$

而 λ 为未知波长，则按题意可列出如下的光栅方程：

$$d \sin \theta_0 = 2\lambda_0 \quad (0.165)$$

$$d \sin \theta = \lambda \quad (0.166)$$

解得

$$\lambda = 2\lambda_0 \frac{\sin \theta}{\sin \theta_0} = 584.9 \text{ nm} \quad (0.167)$$

(2) 由光栅方程可以看出， k 的最大值由条件 $|\sin \theta| \leq 1$ 决定。对波长为 584.9 nm 的谱线，该条件给出

$$k \leq \frac{d}{\lambda} = \frac{2\lambda_0}{\lambda \sin \theta_0} = 4.3 \quad (0.168)$$

∴最多能观测到第四级谱线。

§0.5 光的偏振

1. 偏振光的分类

光是横波。光波的电、磁分量方向都与传播的方向垂直，从而出现各种偏振状态。一般把光的偏振态分为五种：线偏振光、圆偏振光、椭圆偏振光、自然光和部分偏振光。

沿z-轴直线传播的平面波，光矢量在x、y方向振荡，形式为

$$\vec{E}(t, \vec{r}) = \begin{pmatrix} A_1 \cos(\omega t - kz) \\ A_2 \cos(\omega t - kz + \Delta\phi) \end{pmatrix} \quad (0.169)$$

可写成

$$\frac{E_x}{A_1} = \cos(\omega t - kz) \quad (0.170)$$

$$\frac{E_y}{A_2} = \cos \Delta\phi \cos(\omega t - kz) - \sin \Delta\phi \sin(\omega t - kz) \quad (0.171)$$

解出 $\cos(\omega t - kz)$ 和 $\sin(\omega t - kz)$ ，计算两者的平方和，得

$$\frac{E_x^2}{A_1^2} + \frac{E_y^2}{A_2^2} - 2 \frac{E_x E_y}{A_1 A_2} \cos \Delta\phi = \sin^2 \Delta\phi \quad (0.172)$$

(1) 当 $\Delta\phi = 0, \pi$ 时，

$$\frac{E_x}{A_1} = \pm \frac{E_y}{A_2} \quad (0.173)$$

是**线偏振光**（或称平面偏振光），偏振方向分别在一、三象限和二、四象限。

(2) 当 $-\pi < \Delta\phi < 0$ 时，迎着光线看，矢端逆时针旋转，称为**左旋椭圆偏振光**；当 $0 < \Delta\phi < \pi$ 时，矢端顺时针旋转，称为**右旋椭圆偏振光**。

(3) 当 $\Delta\phi = \pm \frac{\pi}{2}$ ，且 $A_1 = A_2$ 时，是**右旋圆偏振光**和**左旋圆偏振光**。

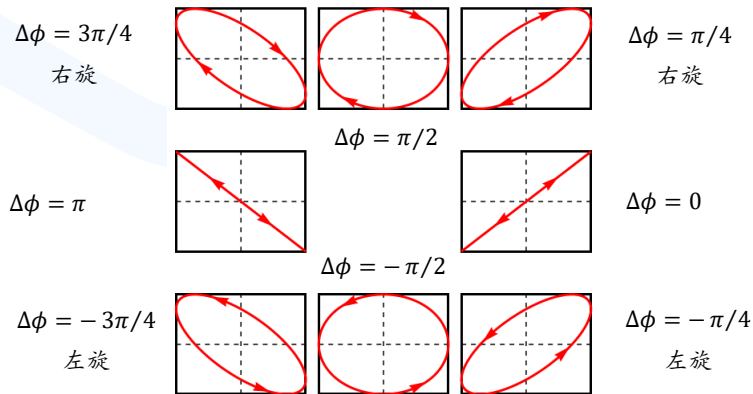


图 0-47 相位差与偏振态的关系

普通光源发光时，原子每次发出一个很短的波列。各原子独立、随机地发光，光矢量的大小、振动方向和初位相是随机数。在一次发光时间内，大量波列合成的光波可以是偏振的；但是在长时间内看，它以完全无规的方式迅速变化着，在哪个方向都不占优势，对其传播方向形成轴对称分布。

在垂直于传播方向的任何方向上，都具有相同的平均振幅和能量的光，称为**自然光**。自然光可以分解为两个振幅相等、振向垂直，相互间没有固定相位差的线偏振光。

部分偏振光的性质介于自然光和线偏振光之间。它的振动方向也在随机变化，但存在优势方向，此方向振幅最大，与优势方向垂直的方向振幅最小。部分偏振光可以分解为两个振幅不等、振向垂直，相互间没有固定的相位差的线偏振光。

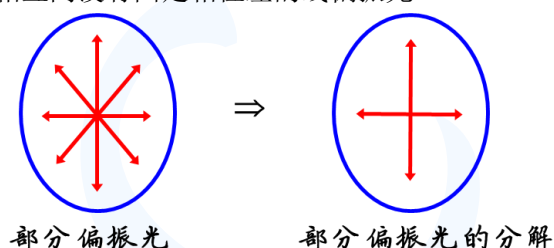


图 0-48 部分偏振光可分解

把各方向最大振幅和最小振幅对应的光强记为 I_{\max} 和 I_{\min} ，定义**偏振度**

$$P \stackrel{\text{def}}{=} \frac{I_{\max} - I_{\min}}{I_{\max} + I_{\min}} \quad (0.174)$$

$$0 \leq P \leq 1 \quad (0.175)$$

自然光的偏振度为 0，线偏振光的偏振度为 1，部分偏振光介于两者之间。

常用短划线和点表示光的偏振状态。

右图中的箭头表示光波向右传播，短划线表示偏振方向在纸面内，点表示偏振方向垂直于纸面。短划线与点都有且数目相同，表示自然光。短划线数目多于点的数目，表示优势方向在纸面内；短划线数目少于点的数目，表示优势方向垂直于纸面。

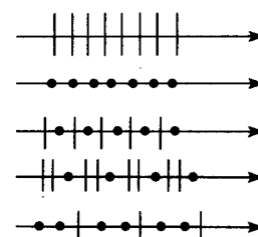


图 0-49 偏振状态的图示

2. 偏振片

阳光、烛光和白炽灯光是自然光。湖面反射的光和天空散射的光是部分偏振光。可以通过反射、折射、双折射等方法把自然光变成偏振光。

目前广泛用以获得偏振光的器件，是人造偏振片。兰德（Edwin Herbert Land）发明的 H-偏振片，是以具有网状结构的聚乙烯醇高分子材料为片基制成。将片基浸入碘溶液，经硼酸水溶液还原稳定后，高温拉伸 4-5 倍，使大分子定向排列，碘分子吸附在此线状结构上。

入射光波沿着高分子长链方向的电场分量能推动电子运动做功，被强烈吸收，垂直长链方向的电场分量能够透过，出射的光线就成了线偏振光。

偏振片允许透过的光矢量方向，称为**透振方向**或透光轴。

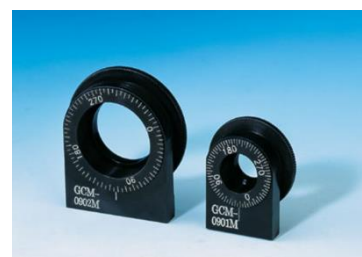


图 0-50 偏振片

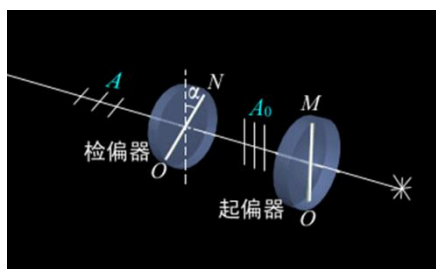


图 0-51 起偏和检偏

偏振片可以作为**起偏器**，使自然光成为偏振光。也可以用来作为**检偏器**，鉴别入射光是线偏振光、自然光还是部分偏振光。

如图所示，自然光通过起偏器后，得到一半亮度的线偏振光。再通过检偏器，出射光只有平行于透振方向的分量。设两个偏振片透振方向夹角为 α ，则检偏器前后的光波实振幅满足关系

$$A = A_0 \cos \alpha \quad (0.176)$$

光强满足马吕斯（Etienne Louis Malus）定律，

$$I = I_0 \cos^2 \alpha \quad (0.177)$$

当 $\alpha = 90^\circ$ 时，出射光强为零，产生了**消光现象**。

例 三个偏振片从左向右共轴放置，第一片偏振片与第二片偏振片的透振方向夹角为 α ，第三片偏振片与第一片偏振片的透振方向垂直，用光强为 I_0 的自然光从左侧入射。求右侧出射光的光强。

解：自然光通过第一片偏振片后成为线偏振光，光强为 $I_0/2$ 。

之后通过第二、三片偏振片，利用马吕斯定律，振幅是原来的

$$\cos \alpha \cdot \cos(90^\circ - \alpha) = \frac{1}{2} \sin 2\alpha \quad (0.178)$$

倍，所以出射光强是

$$I = \frac{1}{2} I_0 \cdot \left| \frac{1}{2} \sin 2\alpha \right|^2 = \frac{1}{8} I_0 \sin^2 2\alpha \quad (0.179)$$

3. 布儒斯特角*

实验和电磁学理论计算得出，自然光在介质表面发生反射和折射时，反射光和折射光都是部分偏振光。反射光中垂直于入射面的振动分量占优，折射光中平行于入射面的振动分量占优。

改变入射角，反射光和折射光的偏振度会发生变化。当入射角取**布儒斯特角**（David Brewster）

$$\theta_b = \arctan \frac{n_2}{n_1} \quad (0.180)$$

时，反射光是振动面与入射面垂直的线偏振光。

利用布儒斯特定律，可以测量不透明材料的折射率，也可以产生线偏振的激光。

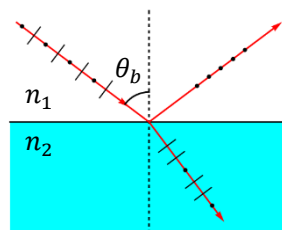


图 0-52 布儒斯特角

4. 波晶片

与各向同性介质（例如玻璃）不同，光波在方解石、石英和红宝石等晶体内部传播时，其相速度与偏振方向有关。利用此特性可以制作**波晶片**（相位延迟片），用以改变偏振光的

相位。

对给定波长 λ 的单色光，最常用的波晶片是 $\lambda/4$ 片。波晶片是薄片形状的光学器件。在波晶片平面内，有一个方向是**快轴**，与之垂直的方向是**慢轴**。当线偏振光垂直通过 $\lambda/4$ 片后，出射光的快轴分量相位比慢轴分量相位增加了 90° 。

$\lambda/4$ 片可以把圆偏振光和椭圆偏振光，转变成线偏振光。

把偏振片和 $\lambda/4$ 片结合起来使用，可以区分线偏振光、圆偏振光、椭圆偏振光、自然光和部分偏振光这五种入射光。

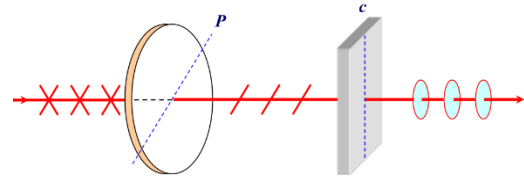


图 0-53 用 $1/4$ 波片将线偏振光转换为圆偏振光

§0.6 黑体辐射

在 17 世纪，牛顿等物理学家认为，光是由质量很小的微粒组成；惠更斯等人则认为光是一种机械波。19 世纪的杨氏双缝干涉和菲涅尔衍射等实验，使得波动说战胜了微粒说。1865 年，麦克斯韦电磁理论进一步为光的波动说提供了坚实的理论基础。

然而到了 19 世纪末，人们发现了一些新的实验现象，如黑体辐射、光电效应、康普顿散射和原子光谱等，无法用波动理论解释。

1. 辐射与吸收

我们知道任何物体都在不停地发射各种波长的电磁波，原因是物体的分子或原子由带电粒子组成，在热运动时会产生电磁辐射，这种现象称为**热辐射**。



图 0-54 热辐射

在温度为 T 的热辐射体表面，单位面积、单位时间、单位波长范围内辐射的电磁波能量 $r(\lambda, T)$ ，称为**单色辐射本领**。单位表面积辐射的总功率

$$R(T) \triangleq \int_0^{+\infty} r(\lambda, T) d\lambda \quad (0.181)$$

称为**总辐射本领**。

每个物体在辐射热能的同时，也在吸收周围物体辐射的能量。设在单位面积、单位时间、单位波长范围内辐射到物体上的能量是 $dE(\lambda)$ ，被吸收的部分为 $dE'(\lambda, T)$ ，两者之比

$$\alpha(\lambda, T) = \frac{dE'(\lambda, T)}{dE(\lambda)} \quad (0.182)$$

称为**单色吸收本领**。

考虑放在封闭的真空容器内的若干个物体，设物体与外界没有能量交换。达到热平衡后，每个物体单位时间吸收的能量，等于单位时间辐射的能量。辐射本领强的物体，吸收本领也强。

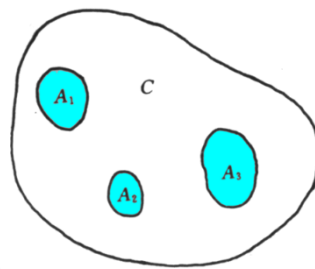


图 0-55 密封腔中的物体

假想只有两个物体分别放置在两个封闭容器中，用只能传导波长 λ 的光波、等截面 S 的波导（光纤）连接。波导也与外界隔绝能量传递。经过一段时间后，两个物体达到热平衡，温度均为 T ，内能不再变化，

$$r_2(\lambda, T) \cdot S \cdot \alpha_1(\lambda, T) = r_1(\lambda, T) \cdot S \cdot \alpha_2(\lambda, T) \quad (0.183)$$

所以有基尔霍夫定律，

$$\frac{r_1(\lambda, T)}{\alpha_1(\lambda, T)} = \frac{r_2(\lambda, T)}{\alpha_2(\lambda, T)} = r_0(\lambda, T) \quad (0.184)$$

函数 $r_0(\lambda, T)$ 是与物体的性质无关的普适函数。

2. 黑体辐射

吸收系数 $\alpha(\lambda, T) = 1$ 的物体，能吸收全部波长的电磁波，这样的物体称为**绝对黑体**或**黑体**。黑体的单色辐射本领

$$r(\lambda, T) = r_0(\lambda, T) \quad (0.185)$$

是普适函数，反映了热辐射的一般规律。

自然界不存在绝对黑体，但是可以人工制造。在空腔上开一个小孔，那么空腔物体的表面上小孔处，就是一个很小的黑体。

经小孔入射的光线，需要经过非常多次反射，才有可能从小孔逃逸。在多次反射过程中，光线已经损失（被吸收）了绝大部分的能量，出射光极其微弱。也就是说，对任何波长的光，小孔的吸收率都几乎是 1。小孔处的热辐射，很接近黑体的辐射。

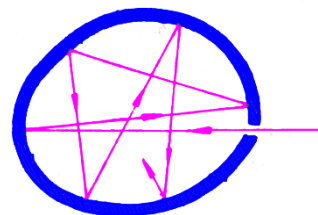


图 0-56 黑体

1879 年斯特藩（Jožef Stefan）从实验总结，随后 1884 年玻尔兹曼（Ludwig Edward Boltzmann）从理论推导得出，黑体的总辐射本领与黑体温度的四次方成正比，

$$R = \sigma T^4 \quad (0.186)$$

称为 **Stefan-Boltzmann 定律**。其中常数为

$$\sigma = 5.670 \times 10^{-8} \text{ W}/(\text{m}^2 \text{K}^4) \quad (0.187)$$

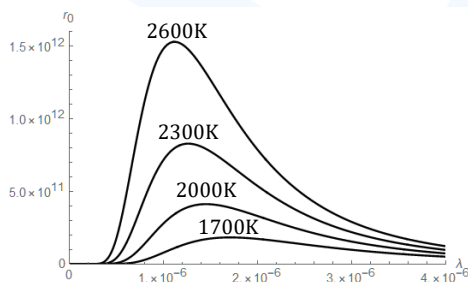


图 0-57 维恩位移定律

1893 年维恩（Wilhelm Wien）根据热力学原理推得，在确定的温度下，黑体的单色辐射本领 $r(\lambda, T)$ 都有一个极大值点

$$\lambda_m = \frac{b}{T}, \quad b = 2.898 \times 10^{-3} \text{ m} \cdot \text{K} \quad (0.188)$$

称为**维恩位移定律**。

随后，维恩利用热力学原理和一些特殊假设，得出**维恩定律**

$$r_0(\lambda, T) = \frac{c_1}{\lambda^5} \exp\left(-\frac{c_2}{\lambda T}\right) \quad (0.189)$$

上式中的常数 c_1, c_2 称为第一、第二辐射常数。维恩定律在短波段（紫外区）与实验符合得很好，在长波段（红外区）有明显偏离。

例 实验测得太阳辐射最强的波长是 $4.65 \times 10^{-7} \text{m}$ ，估算太阳表面温度。

解：根据维恩位移定律，太阳表面温度是

$$T = \frac{b}{\lambda_m} = \frac{2.898 \times 10^{-3}}{4.65 \times 10^{-7}} = 6.232 \times 10^3 \text{K} \quad (0.190)$$

1900 年瑞利（Lord Rayleigh）和金斯（James Jeans）用电磁学和统计物理严格求解了黑体辐射问题，得到**瑞利-金斯公式**¹

$$r_0(\lambda, T) = \frac{2\pi c}{\lambda^4} k_B T \quad (0.191)$$

公式在很长波段才与实验符合，短波段辐射本领趋于无穷大，与实验严重不符。这代表经典物理学理论对黑体辐射问题失效，被称为“紫外灾难”。

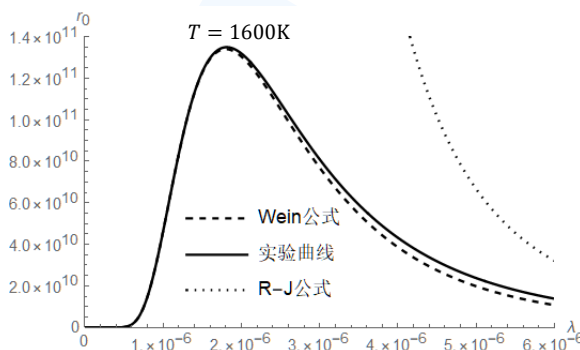


图 0-58 维恩公式、瑞利-金斯公式与实验数据的对比

1900 年，德国物理学家普朗克（Max Planck）把适用于短波的 Wein 公式和适用于长波的 R-J 公式连接起来，得到一个经验公式

$$r_0(\lambda, T) = \frac{2\pi hc^2}{\lambda^5} \frac{1}{e^{hc/(\lambda k_B T)} - 1} \quad (0.192)$$

普朗克公式与实验符合得非常好，有必要为它找到一个合理的理论解释。

经过两个月的努力，普朗克得到了黑体辐射公式的理论推导。与瑞利和金斯不同，推导的关键在于用能量量子化假设，代替了统计物理中的能量均分定理。

普朗克假设，黑体的原子或分子可以看成是谐振子，这些谐振子的能量不能连续变化，而是只能取最小能量单元 $h\nu$ 的整数倍，即能量取**能级**

$$E = nh\nu, \quad n = 0, 1, 2, \dots \quad (0.193)$$

其中的整数 n 称为**量子数**。普朗克常数

$$h = 6.626070150 \times 10^{-34} \text{J} \cdot \text{s} \quad (0.194)$$

2018 年 11 月 16 日，第 26 届国际度量衡大会改以普朗克常数作为新标准，来重新定义“千克”，取代了国际千克原器。

Planck 的量子假设开始了物理学的新纪元。

¹Rayleigh, J. W. S. *Phil. Mag.* **49**, 539, 1900. Jeans, J. H. *Phil. Mag.* **10**, 91, 1905. Rayleigh, J. W. S. *Nature* **72**, 54, 1905; *ibid.*, **72**, 243, 1905.

例 假设太阳表面是温度 $T = 6000\text{K}$ 的黑体，计算可见光能量在总辐射能中的占比。

解：总辐射能正比于

$$R = \sigma T^4 \quad (0.195)$$

其中可见光能量正比于

$$A = \int_{\lambda_1}^{\lambda_2} r(\lambda, T) d\lambda \quad (0.196)$$

可见光波长范围是 400-760nm。利用 Matlab 作数值积分，得到可见光能量占比是

$$A/R \approx 43\% \quad (0.197)$$

§0.7 光电效应

1. 实验规律

实验发现，当光照在金属上时，金属内部的电子吸收光的能量，有可能逸出金属表面，成为可自由移动的电荷，这种现象称为**光电效应**。

光电效应的实验装置如图，在真空玻璃管内装有阳极和金属阴极，在两极之间加上电压。当阴极不受光照时，管中没有电流通过。使用适当频率的光，通过真空管的窗口照射光电阴极，阴极金属有光电子逸出。在电场作用下，光电子飞向阳极形成电光流。

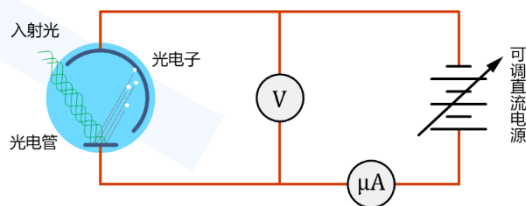


图 0-59 光电效应实验装置

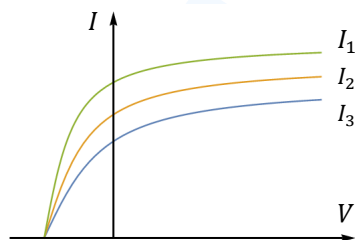


图 0-60 伏安特性曲线

光电效应有以下规律：

(1) 存在**饱和电流**。

不改变光照强度和频率，调节变阻器改变电压，可以测得电流随电压变化的伏安特性曲线。

曲线显示，光电流随电压增大而增大。当加速电压超过某一数值时，电流达到饱和值 I_m ，不再变化。

这是因为单位时间内从阴极逸出的光电子数目 n 是一定的，

$$I_m = ne \quad (0.198)$$

(2) 存在**反向截止电压**。

只有施加反向电压 $V = -V_0$ 时，光电流才降为零。这说明光电子逸出阴极之后，具有初速度 v_0 ，

$$eV_0 = \frac{1}{2} m_e v_0^2 \quad (0.199)$$

(3) 改变入射光强，发现饱和光电流与光强成正比。这说明光电子产生速率 n 与光强成正比。

(4) 不改变光强，而是改变入射光的频率 ν ，发现饱和电流不变。

(5) 反向截止电压随频率升高而升高。且存在一个**截止频率** ν_0 (红限频率)，低于此频

率的光照不产生光电流。截止电压与频率有线性关系，

$$V_0 = K(\nu - \nu_0) \quad (0.200)$$

常数 K 与阴极金属的种类无关，而截止频率与金属种类有关。上式表明逸出电子的**最大初动能**为

$$\frac{1}{2}m_e v_m^2 = eK(\nu - \nu_0) \quad (0.201)$$

表 0-3 金属的介质波长

金属	铯	钾	钠	锂	钨	铁	银	铂
截止波长 (Å)	6520	5500	5400	5000	2700	2620	2610	1961

(6) 从光开始照射阴极，到发射出光电子，所需的驰豫时间 $< 10^{-9}$ 秒。

2. 与经典物理学的矛盾

光电效应的实验事实，与经典物理学在多个方面是矛盾的：

(1) 实验发现截止电压与光强无关。但是按照经典理论，光强越大，电子速度就越快，截止电压越大。

(2) 实验发现截止电压和频率有线性关系。而由经典理论可知，电子有一个共振频率，在此频率光照下逸出的光电子初速度最大，其它频率的初速度较小，截止电压和频率理应是线性关系。

(3) 实验发现频率有红限。按经典理论，只要光强足够大，总能使得电子脱离金属表面。

(4) 实验测得驰豫时间 $< 10^{-9}$ 秒。但用经典理论计算得出，电子必须花费很长时间（50分钟以上）逐渐吸收电磁场能量，才能脱出金属表面。

3. 光子理论

1905 年，为了解释光电效应，爱因斯坦（Albert Einstein）进一步发展了普朗克的量子假设，提出了光子假设：当光与物质发生作用时，光能并不像波动理论描述的那样连续变化，而是集中在一些光子（photon）上，每个光子具有能量（Planck-Einstein relation）

$$E = h\nu \quad (0.202)$$

光子只能整个被吸收或发射。光束是由不连续的光子组成的能量流。

按照爱因斯坦的光子假说，阴极金属内部的电子一次性吸收一个光子，逸出成为光电子。由能量守恒，有

$$h\nu = \frac{1}{2}mv_m^2 + A = eV_0 + A \quad (0.203)$$

其中 A 是电子逃逸出金属表面所需的逸出功。

这可以解释光电效应的全部实验结果。上式说明，电子的初动能（或截止电压）与频率有线性关系。截止频率为

$$\nu_0 = A/h \quad (0.204)$$

入射光强正比于光子流密度，因此光强增大意味着单位时间产生的光电子数目增大，饱和电流变大。能量集中于一个一个的光子上，电子吸收单个光子即获得足够能量逸出，所以弛豫时间极短。

光子假说成功解释了光电效应。爱因斯坦因这一工作获得了 1921 年的诺贝尔物理学奖。

例 钾的截止频率 $\nu_0 = 5.44 \times 10^{14} \text{Hz}$ ，用波长 435.8nm 的光照射，求反向遏止电压。

解：钾的逸出功为

$$A = h\nu_0 = 6.63 \times 10^{-34} \times 5.44 \times 10^{14} = 3.61 \times 10^{-19} \text{J} \quad (0.205)$$

波长 435.8nm 的光波，其光子能量为

$$E = h\nu = \frac{hc}{\lambda} = \frac{6.63 \times 10^{-34} \times 3 \times 10^8}{435.8 \times 10^{-9}} = 4.56 \times 10^{-19} \text{J} \quad (0.206)$$

所以反向遏制电压是

$$V_0 = \frac{E - A}{e} = \frac{4.56 \times 10^{-19} - 3.61 \times 10^{-19}}{1.6 \times 10^{-19}} = 0.60 \text{V} \quad (0.207)$$

4. 光的波粒二象性

利用相对论质能关系式

$$E = mc^2 \quad (0.208)$$

得光子动量的大小为

$$p = mc = \frac{E}{c} = \frac{h\nu}{c} = \frac{h}{\lambda} = \hbar k \quad (0.209)$$

其中

$$\hbar = \frac{h}{2\pi} \quad (0.210)$$

是约化普朗克常数， $k = |\vec{k}|$ 是波矢量的模长。

总之，光子满足普朗克-爱因斯坦关系，

$$\begin{cases} E = \hbar\omega \\ \vec{p} = \hbar\vec{k} \end{cases} \quad (0.211)$$

等式左边表示粒子的性质，光子的能量和动量。等式右边表示波动性质，光波的圆频率和波矢量。

光具有粒子性和波动性，两种性质通过普朗克常数相联系。光既能够产生干涉、衍射这类典型的波动现象，也能够黑体辐射、光电效应中体现出它的粒子性。

例 对波长 550nm 的黄绿光，求光子能量和动量。

解：利用普朗克-爱因斯坦关系式，光子的能量是

$$E = \frac{hc}{\lambda} = \frac{6.63 \times 10^{-34} \times 3 \times 10^8}{550 \times 10^{-9}} = 3.62 \times 10^{-19} \text{J} \quad (0.212)$$

光子的动量是

$$p = \frac{h}{\lambda} = \frac{6.63 \times 10^{-34}}{550 \times 10^{-9}} = 1.21 \times 10^{-27} \text{kg} \cdot \text{m} \cdot \text{s}^{-1} \quad (0.213)$$

5. 康普顿散射

经典电磁理论认为，物质中的电子在入射光的电磁场中作受迫振动，发出频率与入射光相同的散射光。散射不改变波长。

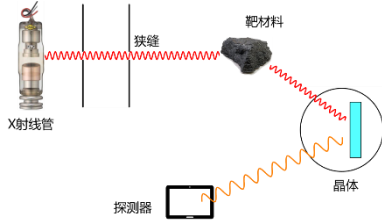


图 0-61 康普顿散射实验装置

康普顿 (Arthur Holly Compton) 按照爱因斯坦的光子理论计算了光子与电子的弹性碰撞过程，并做了实验检验。

实验中使用波长 $\lambda_0 = 0.071\text{nm}$ 的高能 X 射线，照在石墨散射体上，结果显示散射光的波长与散射角有关。

光子和电子的能量分别是

$$E_{\gamma 0} = p_0, \quad E_{e0} = m_e \quad (0.214)$$

碰撞后光子的动量为 \vec{p} ，能量为

$$E_{\gamma} = p \quad (0.215)$$

电子的动量为 \vec{q} ，能量是

$$E_e = \sqrt{q^2 + m_e^2} \quad (0.216)$$

碰撞前后动量守恒，

$$\vec{p}_0 = \vec{p} + \vec{q} \quad (0.217)$$

平方得

$$p_0^2 + p^2 - 2\vec{p}_0 \cdot \vec{p} = q^2 \quad (0.218)$$

碰撞前后能量守恒，

$$p_0 + m_e = p + \sqrt{q^2 + m_e^2} \quad (0.219)$$

平方得

$$(p_0 + m_e - p)^2 - m_e^2 = q^2 \quad (0.220)$$

联立消去 q^2 ，

$$-pp_0 + (p_0 - p)m_e = -\vec{p}_0 \cdot \vec{p} \quad (0.221)$$

记光子的散射角为 θ ，

$$\vec{p}_0 \cdot \vec{p} = p_0 p \cos \theta \quad (0.222)$$

$$(p_0 - p)m_e = 2pp_0 \sin^2 \frac{\theta}{2} \quad (0.223)$$

最后利用

$$p = \frac{2\pi}{\lambda}, \quad p_0 = \frac{2\pi}{\lambda_0} \quad (0.224)$$

得到康普顿散射公式

$$\Delta\lambda \stackrel{\text{def}}{=} \lambda - \lambda_0 = 2\lambda_c \sin^2 \frac{\theta}{2}, \quad \lambda_c \stackrel{\text{def}}{=} \frac{h}{m_e c} \approx 0.0243\text{\AA} \quad (0.225)$$

康普顿散射实验是对光子概念的有力支持。实验证实了散射的是整个光子；爱因斯坦关系式正确，在微观碰撞事件中能量、动量守恒定律仍然成立。

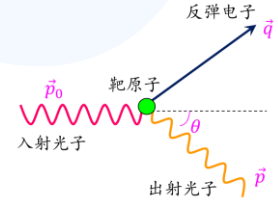


图 0-62 光子与电子的碰撞

例 波长 0.01nm 的 X 射线与静止的电子碰撞，在 90° 散射角方向探测到的 X 射线波长有多大？反冲电子的动能是多少？

解：利用康普顿散射公式，波长是

$$\lambda = \lambda_0 + \Delta\lambda = \lambda_0 + 2\lambda_c \sin^2 \frac{\theta}{2} = \lambda_0 + \lambda_c \quad (0.226)$$

$$= 0.01\text{nm} + 0.0243\text{\AA} \approx 0.0124\text{nm} \quad (0.227)$$

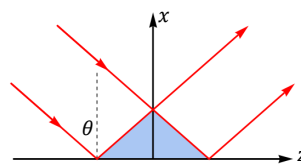
利用能量守恒，可求得反冲电子的动能，

$$\begin{aligned} E_e &= E_{\gamma_0} - E_{\gamma} = hc \left(\frac{1}{\lambda_0} - \frac{1}{\lambda} \right) = \frac{hc\Delta\lambda}{\lambda_0\lambda} \\ &= \frac{6.63 \times 10^{-34} \times 3 \times 10^8 \times 0.0243 \times 10^{-10}}{0.01 \times 10^{-9} \times 0.0124 \times 10^{-9}} = 3.9 \times 10^{-15} \text{J} \end{aligned} \quad (0.228)$$

习 题

1. 单色平面波在 y - z 平面内, 沿着与 y -轴夹角为 30° 方向传播, 写出它的标量波函数、复波函数和复振幅。

2. 如图, 一列波矢量在 x - z 平面的平面波, 入射后在的分界面 $x = 0$ 处发生反射。求反射波和入射波重叠区光矢量的复振幅。



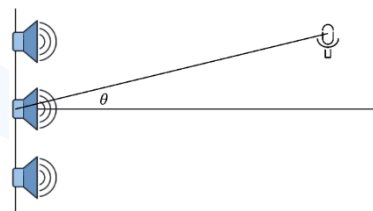
3. 产生干涉的相干光, 必须来自同一发光原子、同一次发射的波列, 解释其理由。

4. 用很薄的云母片覆盖在双缝实验的一条缝上, 看到干涉条纹移动了 9 个条纹间距, 求云母片的厚度。已知云母片折射率 $n = 1.58$, 光源波长 550nm 。

5. 三个扬声器排成直线, 相距 d , 播放单频声音信号

$$s_j(t) = A \cos(\omega t + \varphi_j), j = 1, 2, 3.$$

远处一个麦克风在夹角为 θ 的方向接收声音。欲使麦克风处消音, 三个初相位 $\varphi_1, \varphi_2, \varphi_3$ 应该满足什么关系?



6. 两块平板玻璃叠合在一起, 一端接触, 在离接触线 12.5cm 处用金属细丝垫在两板之间。用波长 546nm 的单色光垂直入射, 测得条纹间距为 1.50mm 。求细丝的直径。

7. 牛顿环从中间数第 5 暗环和第 15 暗环直径分别是 0.70mm 和 1.70mm 。设入射单色光的波长为 589nm 。

(1) 求透镜凸面的曲率半径。

(2) 若在牛顿环间隙充满折射率为 1.33 的水, 这两个暗环的直径变为多大?

8. 在折射率为 1.5 的玻璃表面, 镀上一层折射率为 1.30 的透明薄膜。对于 550nm 的黄绿光垂直入射的情形, 为了增强透射光束强度, 应使反射光干涉相消。求膜的厚度。

9. 用波长 589.3nm 的钠黄光作为夫琅禾费单缝衍射的光源, 测得第二极小到干涉图样中心的距离为 0.30cm 。改用未知波长的单色光源, 测得第三极小到中心的距离为 0.42cm 。求未知波长。

10. 评估你的手机像素数目是否超过了镜头的光学衍射极限。估算所需的参数, 如手机摄像头模组的光圈系数、像素、CMOS 图像传感器的尺寸等, 请自行在网络上搜索。

11. 天空的两颗星相对于望远镜的角距离为 $4.8 \times 10^{-6}\text{rad}$, 都发出 550nm 的光。望远镜的口径至少多大, 才能分辨这两颗星?

12. 用氦氖激光器发出的波长为 632.8nm 的红光, 垂直入射到平面透射光栅上, 测得第一级极大出现在 38° 方向。(1) 求光栅常数。(2) 能否看到第二级极大?

13. 在氢、氘混合气体的发射光谱中, 波长 656nm 的红色谱线是双线, 双线波长差是 0.18nm 。为了能在第二级光谱中分辨双线, 光栅的刻线数至少为多少?

14. 四个偏振片依次前后排列。每个偏振片的透振方向, 均相对于前一偏振片沿顺时针方向转过 30° 角。不考虑吸收、反射等光能损失, 则透过此偏振片系统的光强是入射光强的多少倍?

15. 有一空气-玻璃界面, 光从空气一侧入射时, 布儒斯特角是 58° , 求光从玻璃一侧入射时的布儒斯特角。

16. 利用普朗克辐射公式, 求维恩位移定律常数 b 。

17. 利用普朗克辐射公式, 求斯特藩-玻尔兹曼定律常数 σ 。($\int_0^\infty \frac{x^3}{e^x - 1} dx = \frac{\pi^4}{15}$)

18. 热核爆炸中火球的温度可达 10^7K ,

(1) 求辐射最强的波长;

(2) 这种波长的光子能量是多少?

19. 20°C 的空腔中, 每立方米的光子总数是多少? ($\int_0^\infty \frac{x^2}{e^x - 1} dx = 2.404$)

20. 铝的脱出功是 4.2eV , 用波长为 200nm 的光照射铝表面,

(1) 求铝的截止波长。

(2) 光电子的最大初动能。

(3) 求截止电压。

(4) 如果入射光强是 2.0W/m^2 , 阴极面积是 1m^2 , 光束垂直照射阴极, 那么饱和电流最大是多少?

21. 能量为 0.41MeV 的 X 射线光子与静止的自由电子碰撞, 反冲电子的速度为 $0.6c$, 求散射光的波长和散射角。

第二章 玻尔原子模型

黑体辐射、光电效应以及原子光谱等物理现象，是推动量子理论创立的动机，也是新理论的实验基础。

§1.1 原子模型

1. 电子的发现

1894 年，J. Stoney 命名阴极射线的粒子为电子（electron）。1897 年，英国物理学家汤姆逊（Joseph John Thomson）测量了电子荷质比；1899 年，汤姆逊利用威尔逊（T. Wilson）发明的云室测量了电子电荷。电子带电荷 $-e$ ，

$$e = 1.602 \times 10^{-19} \text{C} \quad (1.1)$$

质量为

$$m_e = 9.109 \times 10^{-31} \text{kg} = 0.511 \text{MeV}/c^2 \quad (1.2)$$

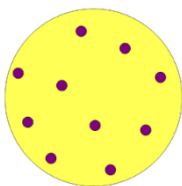


图 1-1 汤姆逊原子模型

随后实验物理学家发现原子中含有电子。电子质量约为氢原子质量的 $1/1836$ 。原子是电中性的，所以还应该含有正电荷，并且正电荷物质贡献了绝大部分原子质量。

1903 年，汤姆逊提出一个原子模型：原子中的正电荷均匀分布在一个半径约为 1\AA 即 10^{-10} 米的球内，电子镶嵌其中（“葡萄干蛋糕”模型）。

2. α 粒子散射实验

我们可以直接观测宏观物体的运动，但对原子这样小的尺度，只能通过它对外部粒子的影响推测其内部结构。

为了检验汤姆逊模型是否成立，英国物理学家和化学家卢瑟福（Ernest Rutherford）设计了用 α 粒子（ He^{++} 离子）轰击金箔的散射实验。

图中 R 是放射源，F 是金属箔，S 是闪烁屏。圆形金属匾 B 固定于带有刻度的圆盘 A 上，A 和 B 可在光滑套轴 C 上转动，R 与 T 装在与匾不相连的管子 T 上，金属匾通过管 T 抽真空。显微镜 M 用于对屏 S 的闪烁计数。

实验发现大部分 α 粒子在与金箔碰撞后，散射角很小，这与汤姆逊模型的预期一致；但是还有大约 $1/8000$ 的 α 粒子散射角大于 90° ，而按照汤姆逊模型计算，这一概率应该小于 10^{-2000} 。

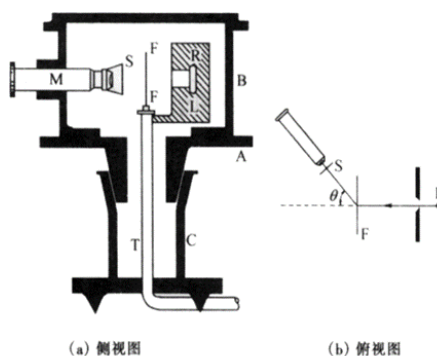


图 1-2 α 粒子散射装置

3. 卢瑟福模型

为了解释大角度散射，1911 年卢瑟福提出原子的**核式模型**：原子中的正电荷集中在原子中心很小的区域，称为原子核，电子分布于核外。

α 粒子的质量

$$m_{\alpha} \approx 7300m_e \quad (1.3)$$

在碰撞时，原子中的电子由于质量太小，对 α 粒子运动的影响可以忽略。 α 粒子受到的作用力来自于核物质的正电荷 Ze 。在汤姆逊模型中，均匀带电球的作用力为

$$F_T = \begin{cases} \frac{2e \cdot Ze \cdot r}{4\pi\epsilon_0 R^3}, & \text{if } r \leq R; \\ \frac{2e \cdot Ze}{4\pi\epsilon_0 r^2}, & \text{if } r > R. \end{cases} \quad (1.4)$$

而在卢瑟福模型中，正电荷集中于原子核，作用力为

$$F_R = \frac{2e \cdot Ze}{4\pi\epsilon_0 r^2} \quad (1.5)$$

当距离很小时，核式模型中的库仑排斥力很大，使得粒子有可能发生大角度散射。卢瑟福模型的计算结果与 α 粒子散射实验符合得很好。

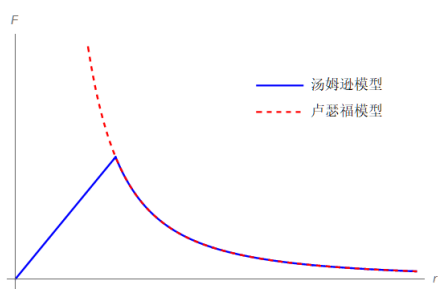


图 1-3 两种模型的作用力

§1.2 原子光谱

1. 原子的光谱线

热辐射包含各种波长的电磁波，形成一个连续光谱。而在气体放电实验中，物理学家们观察到了特定波长的电磁波，在观察屏或感光底片上形成一些分立的亮线，称为**光谱线**。光谱线反映气体中的原子特性和内部结构。

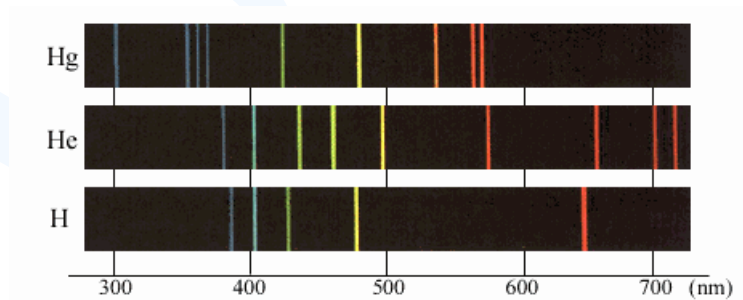


图 1-4 原子的光谱线

2. 氢光谱

1853 年，瑞典物理学家埃格斯特朗（A. J. Angstrom）测出了氢原子在可见光和近紫外波段的光谱。1885 年，瑞典的一位中学教师巴尔末（Johann Jacob Balmer）给出了一个经验公式

$$\lambda = 3645.6 \frac{n^2}{n^2 - 2^2}, \quad n = 3, 4, 5, \dots \quad (1.6)$$

1889 年瑞典物理学家里德伯（J. R. Rydberg）把公式改写成波数 $1/\lambda$ 满足

$$\frac{1}{\lambda} = R_H \left(\frac{1}{2^2} - \frac{1}{n^2} \right) \quad (1.7)$$

其中

$$R_H = 1.0967758 \times 10^7 \text{ m}^{-1} \quad (1.8)$$

称为里德伯常数。巴尔末公式只用了一个拟合系数，却与实验符合得极好。

此后的实验中，人们陆续发现了可见光之外的氢原子光谱。1904 年在紫外区发现了莱曼系，谱线公式为

$$\frac{1}{\lambda} = R_H \left(\frac{1}{1^2} - \frac{1}{n^2} \right), \quad n = 2, 3, 4, \dots \quad (1.9)$$

1908 年在红外区发现帕邢系，

$$\frac{1}{\lambda} = R_H \left(\frac{1}{3^2} - \frac{1}{n^2} \right), \quad n = 4, 5, 6, \dots \quad (1.10)$$

1922 年在红外区发现布拉开系，

$$\frac{1}{\lambda} = R_H \left(\frac{1}{4^2} - \frac{1}{n^2} \right), \quad n = 5, 6, 7, \dots \quad (1.11)$$

1924 年在远红外区发现普丰德系，

$$\frac{1}{\lambda} = R_H \left(\frac{1}{5^2} - \frac{1}{n^2} \right), \quad n = 6, 7, 8, \dots \quad (1.12)$$

这些谱线都可以表示为

$$\frac{1}{\lambda} = T_m - T_n, \quad m = 1, 2, 3, \dots; n = m + 1, m + 2, m + 3, \dots \quad (1.13)$$

其中谱项定义为

$$T_n \stackrel{\text{def}}{=} \frac{R_H}{n^2} \quad (1.14)$$

§1.3 玻尔模型

1. 原子行星模型的困难

在卢瑟福模型中，电子绕原子核运动，就像行星沿轨道绕太阳运动一样。结合卢瑟福模型和经典物理学，虽然可以解释 α 粒子散射，但也有很多无法解决的困难：

(1) 无法解释为什么原子会具有特定的大小。电子绕原子核圆周运动的半径可取任何值。

(2) 无法解释为什么原子能稳定存在。作圆周运动的电子具有加速度，会发出电磁辐射而损失能量，半径越来越小，最终落入原子核中。

(3) 无法解释实验得到的线光谱。按电磁学理论，电子绕电荷为 Ze 的原子核作圆周运动时，发出的辐射光频率为

$$f = \frac{v}{2\pi r} = \frac{e}{2\pi} \sqrt{\frac{Z}{4\pi\epsilon_0 m_e r^2}} \quad (1.15)$$

在此过程中，电子的轨道半径 r 、速度 v 和辐射频率连续变化，因此原子发射的应该是连续光谱。

2. 玻尔假设

1913年，丹麦物理学家玻尔（N. Bohr）受普朗克量子论、爱因斯坦光子说以及巴尔末公式的启发，认为微观过程中经典物理学不再适用，应该引入量子化概念。他提出，

(1) 定态假设：原子存在一系列具有确定能量的稳定状态，称为**定态**。

(2) 频率规则：原子从一个能量为 E_i 的定态，**跃迁**到能量为 E_f 的另一个定态时，原子吸收或发射光子，在此过程中能量守恒，

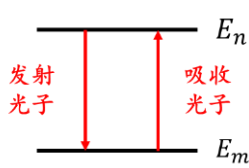


图 1-5 原子的跃迁

$$E_f - E_i = \pm h\nu \quad (1.16)$$

一般用一条水平线段表示一个能量状态。能量最低的状态称为**基态**（ground state），其它状态称为**激发态**（excited state）。

(3) 角动量子化：在原子中，电子的轨道角动量只能是约化普朗克常数 \hbar 的整数倍，

$$\hbar = \frac{h}{2\pi} \quad (1.17)$$

因此电子绕原子核作圆周运动的角动量为

$$m_e r v = n\hbar, \quad n = 1, 2, 3, \dots \quad (1.18)$$

3. 氢原子的玻尔模型

利用玻尔假设和原子行星模型，可以推导出氢原子的大小和能级。

惯性离心力等于库仑力，

$$\frac{mv^2}{r} = \frac{1}{4\pi\epsilon_0} \frac{Ze^2}{r^2} \quad (1.19)$$

与角动量子化条件联立，

$$mvr = n\hbar \quad (1.20)$$

解得

$$r = \frac{4\pi\epsilon_0 \hbar^2 n^2}{m_e e^2 Z} \quad (1.21)$$

$$v = \frac{e^2}{4\pi\epsilon_0\hbar n} Z \quad (1.22)$$

可见在原子中，电子的轨道半径和速度都是不连续的。与**主量子数** n 有关。

引进**精细结构常数**（fine-structure constant）

$$\alpha \stackrel{\text{def}}{=} \frac{e^2}{4\pi\epsilon_0\hbar c} \approx \frac{1}{137} \quad (1.23)$$

和**玻尔半径**

$$a_0 \stackrel{\text{def}}{=} \frac{4\pi\epsilon_0\hbar^2}{m_e e^2} = 0.529\text{\AA} \quad (1.24)$$

轨道半径和速度可以写成

$$r_n = \frac{1}{Z} n^2 a_0, \quad v_n = Z \frac{\alpha c}{n}, \quad n = 1, 2, 3, \dots \quad (1.25)$$

原子的能量为

$$E = \frac{1}{2} m_e v^2 - \frac{1}{4\pi\epsilon_0} \frac{Z e^2}{r} \quad (1.26)$$

把前面解出的 r, v 代入上式，得

$$E = -\frac{m_e Z^2 e^4}{8\epsilon_0^2 \hbar^2 n^2} = -\frac{1}{2n^2} m_e Z^2 \alpha^2 c^2, \quad n = 1, 2, 3, \dots \quad (1.27)$$

可见能量也是量子化的。

对氢原子， $Z = 1$ ，

$$E = E_n = -\frac{1}{2n^2} \alpha^2 m_e c^2 \approx -13.6\text{eV} \cdot \frac{1}{n^2}, n = 1, 2, 3, \dots \quad (1.28)$$

主量子数 $n = 1$ 的能级 $E_1 = -13.6\text{eV}$ 能量最低，是基态； $n = 2$ 的能级 $E_2 = -3.4\text{eV}$ 称为**第一激发态**； $n = 3$ 的能级 $E_3 = -1.51\text{eV}$ 称为**第二激发态**；……

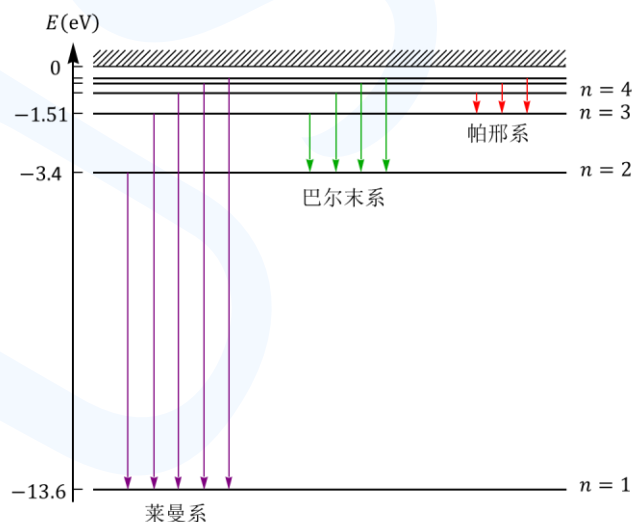


图 1-6 氢光谱

按频率规则，氢原子可以从能量 E_n 较高的定态，跃迁到能量 E_m 较低的定态，发出（里德伯）能量为 $h\nu$ 的光子，

$$h\nu = E_n - E_m = \frac{1}{2} \alpha^2 m_e c^2 \left(\frac{1}{m^2} - \frac{1}{n^2} \right), \quad m > n \quad (1.29)$$

波数为

$$\frac{1}{\lambda} = \frac{h\nu}{hc} = R_{\infty} \left(\frac{1}{m^2} - \frac{1}{n^2} \right) \quad (1.30)$$

其中里德伯常数

$$R_{\infty} \stackrel{\text{def}}{=} \frac{m_e \alpha^2 c}{2h} = 1.0973731534(13) \times 10^7 \text{m}^{-1} \quad (1.31)$$

上式中的里德伯常数，与氢光谱的实验值

$$R_H = 1.0967758 \times 10^7 \text{m}^{-1} \quad (1.32)$$

很接近。

电子绕原子核运动是个两体问题。前面的推导假设原子核固定不动，只是近似成立。对两体的相对运动，电子质量 m_e 应该代之以折合质量

$$\mu = \frac{m_e m_p}{m_e + m_p} \quad (1.33)$$

其中 m_p 是氢核即质子的质量。这样氢原子里德伯常数的理论值为

$$R_H = \frac{\mu \alpha^2 c}{2h} \quad (1.34)$$

与实验值完全符合。

原子从低能级跃迁到高能级时，由于能量是量子化的，所以只能吸收特定的能量。白光照射到原子上时，只有一些分立能量值的光子能够被原子吸收。这些波长的谱线从出射光中减弱或消失，形成了**吸收谱线**。同一种原子的吸收谱线与发射谱线完全重合。

例 处于基态的氢原子，吸收单色光后被激发，发出的光只有三条谱线。此单色光的波长是多少？

解：由于发出的光仅有三条谱线，激发态只能是 $n = 3$ 能级，发出的谱线分别是

$$3 \rightarrow 2, \quad 3 \rightarrow 1, \quad 2 \rightarrow 1$$

跃迁。

把 $n = 1$ 能级的基态氢原子激发到 $n = 3$ 能级，需要吸收的光子能量为

$$h\nu = E_3 - E_1 = 12.1 \text{eV} \quad (1.35)$$

单色光的波长是

$$\lambda = \frac{c}{\nu} = \frac{hc}{h\nu} = \frac{1.24 \mu\text{m} \cdot \text{eV}}{12.1 \text{eV}} = 102 \text{nm} \quad (1.36)$$

4. 类氢离子

原子核外只有一个电子，核电荷数 $Z > 1$ 的离子称为类氢离子，比如 He^+ 和 Li^{++} 都有类似氢原子的结构。

类氢离子的能级

$$E_n = -\frac{1}{2n^2} \alpha^2 m_e c^2 Z^2 \quad (1.37)$$

发射光谱的波数为

$$\frac{1}{\lambda} = Z^2 R \left(\frac{1}{m^2} - \frac{1}{n^2} \right) \quad (1.38)$$

例 计算氘的里德伯常数。

解：氢同位素氘的里德伯常数

$$R_H = \frac{\mu \alpha^2 c}{2h}, \quad \mu = \frac{m_e m_p}{m_e + m_p} \quad (1.39)$$

而氘原子中，电子折合质量是

$$\mu_D = \frac{m_e \cdot 2m_p}{m_e + 2m_p} \quad (1.40)$$

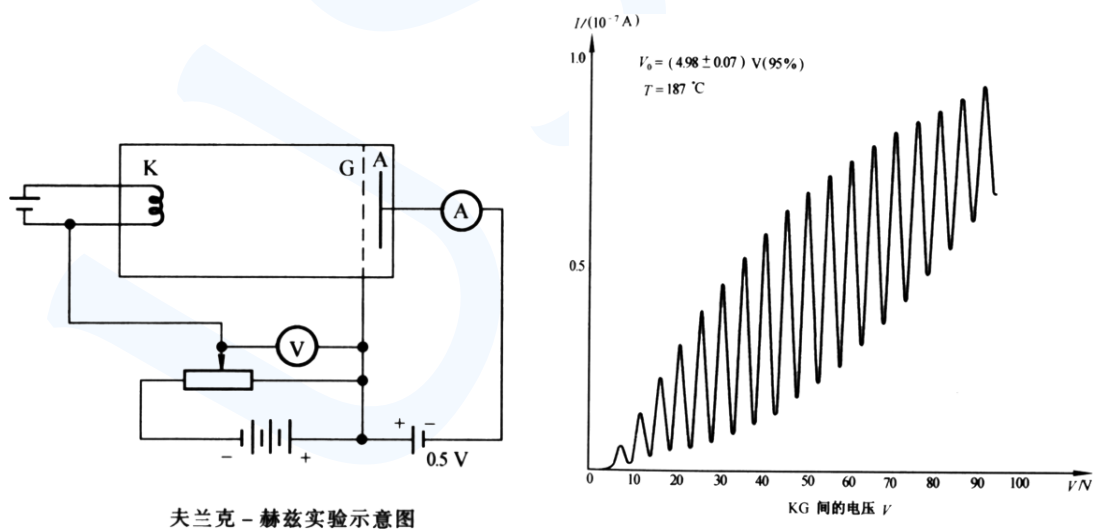
因此里德伯常数为

$$\begin{aligned} R_D &= \frac{\mu_D}{\mu} R_H = \frac{2m_e + 2m_p}{m_e + 2m_p} R_H = \left(1 + \frac{1}{1 + 2 \frac{m_p}{m_e}} \right) R_H \\ &= \left(1 + \frac{1}{1 + 2 \times 1836} \right) \times 1.0967758 \times 10^7 = 1.0970744 \times 10^7 \text{ m}^{-1} \end{aligned} \quad (1.41)$$

5. 弗兰克-赫兹实验

德国物理学家弗兰克（James Franck）和赫兹（Gustav Hertz），在玻尔理论发表后的第二年（1914 年），设计了一个实验以检验原子是否存在分立的能级。

如图所示，充有低压水银蒸汽的玻璃管中有阴极 K、阳极 A 和栅极 G。加热后的阴极发射出电子。阳极和栅极间的 0.5V 反向偏压，使动能很小的电子在通过栅极后，不会被阳极收集。



改变栅极和阳极之间的电压 V ，测量阳极收集到的电流 I 。随着电压的增加，电流有周期性变化，峰值的间隔约为 4.9V。

大多数的汞原子处于基态。电子在从阴极飞向阳极的路径上，可能会与汞原子发生碰撞。

当电子的动能小于汞原子第一激发态与基态的能量差 ΔE 时，汞原子不可能获得能量，电子与汞原子只可能发生弹性碰撞。由于电子质量远远小于汞原子质量，通过弹性碰撞转移给汞原子的动能可以忽略不计。此时玻璃管相当于一个真空二极管，电压从零开始增加时，

$$I \propto V^{\frac{3}{2}} \quad (1.42)$$

当电压增加到 $eV = \Delta E$ 时，电子在栅极附近有可能与汞原子发生非弹性碰撞。电子损失能量 ΔE ，使被碰的汞原子跃迁到第一激发态，而电子剩余动能不足以克服反向偏压，所以电流下降。

随着电压继续增加，电子有可能与汞原子发生两次和更多次的非弹性碰撞，表现为伏安特性曲线的多个峰。相邻两个峰之间的电压差 $\Delta E/e \approx 4.9V$ ，是汞原子的**第一激发电势**。

弗兰克-赫兹实验用不同于光谱学的方法验证了原子能量的量子化现象，二人因此获得1925年的诺贝尔物理学奖。

例 在气体放电管中，一束能量为10eV的电子和单原子气体发生碰撞，发出的辐射波长有：140.2nm, 253.6nm 和 313.2nm。其中253.6nm的光谱较其它两个成分强。给出相应的原子能级图，以及到达阳极的电子的能量。

解：三种波长对应的光子能量是

$$\Delta E = h\nu = \frac{hc}{\lambda} = \frac{1242}{\lambda} \text{ nm} \cdot \text{eV} = 8.84, 4.89, 3.95 \text{ eV} \quad (1.43)$$

注意到 $8.84=4.89+3.95$ ，涉及的原子能级有3个，如图所示。

到达阳极的电子有下列几种情况：

1) 未碰撞，10eV;

2) 碰撞后原子处于第一激发态，

$$10 - 4.89 = 5.11 \text{ eV}$$

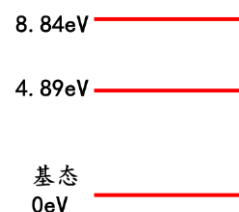
3) 碰撞后原子处于第二激发态，

$$10 - 8.84 = 1.16 \text{ eV}$$

4) 发生两次碰撞，

$$10 - 2 \times 4.89 = 0.22 \text{ eV}$$

原子处于激发态的几率很小，可以忽略电子与激发态原子发生非弹性碰撞的情况。



6. 玻尔理论的成功与不足

玻尔理论揭示了微观体系具有量子化特征和规律，是原子物理发展史上一个重要的里程碑，对量子力学的建立起了巨大推进作用。玻尔提出的“定态”、“能级”、“量子跃迁”等概念，在量子力学中仍很重要，具有极深远的影响。

尽管如此，玻尔理论仍有很多不足，不能解释多电子原子光谱、强度、宽度和偏振性等，也不能说明原子是如何结合成分子、构成液体和固体的。

更重要的是，该理论存在逻辑上不自洽：它以经典理论为基础，又生硬地加上与经典理论不相容的量子化假设，逻辑上不一致——是个半经典、半量子的理论。

习 题

1. 已知氢原子的电离能为 13.6eV ，求 B^{4+} 离子从 $n = 2$ 能级跃迁到基态的辐射能量、波长。
2. 某种类氢离子的光谱中，已知属于同一线系得三条谱线波长为 99.2nm 、 108.5nm 和 121.5nm 。可以预言还有那些光谱线？
3. 气体放电管用 12.2eV 的电子轰击氢原子，确定此时氢所发出的谱线的波长。
4. 要使处于基态的氢原子受激发后，能发射莱曼系最长波长的谱线，则至少需向氢原子提供多少能量？
5. μ^- 轻子（缪子 muon）质量是电子的 207 倍，电荷相同。一个质子可俘获一个缪子形成缪原子。求缪原子的半径和能级。
6. 设氢原子原来是静止的。当氢原子从 $n = 4$ 的态跃迁到基态时，给出原子的反冲速度、发射光子的波长，并与不考虑反冲时的光子波长对比。